# Theo D - Kühn - Mitschrieb SS 2005

Christian Barth & Christian Benz

2. Juni 2005

# Inhaltsverzeichnis

| 1 | Einf | ührung   | - einfache eindimensionale Probleme                    | 5  |
|---|------|----------|--|----|
|   | 1.1  | Elektr   | omagnetische Wellen & Photonen                         | Ę  |
|   |      | 1.1.1    | Zusammenhang zwischen Energie und Frequenz             | Ę  |
|   |      | 1.1.2    | Ausbreitung  | Ę  |
|   |      | 1.1.3    | Spektralzerlegung                                      | 6  |
|   | 1.2  | Materi   | ie–Wellen  | 7  |
|   | 1.3  |          | npakete  | 7  |
|   |      | 1.3.1    | Freies Teilchen $(V=0)$                                | 7  |
|   |      | 1.3.2    | Zusammenhang zwischen $\Psi(x,t=0)$ und $g(x)$         | 8  |
|   |      | 1.3.3    | Zeitliche Entwicklung eines Freien Wellenpaketes       | ç  |
|   | 1.4  |          | •  | 10 |
|   |      | 1.4.1    |  | 10 |
|   |      | 1.4.2    |  | 11 |
|   |      | 1.4.3    |  | 14 |
|   |      | 1.4.4    |  | 15 |
|   |      | 1.4.5    |  | 16 |
|   |      | 1.4.6    |  | 17 |
|   |      | 1.1.0    | 1 otolikatopi  |    |
| 2 | Mat  | hemati   | sche Hilfsmittel                                       | 21 |
|   | 2.1  | Wellen   | nfunktionen als Zustandsraum                           | 21 |
|   |      | 2.1.1    | Zustandsraum $\mathfrak{F}$                            | 21 |
|   |      | 2.1.2    | Orthonormierte Basis                                   | 23 |
|   |      | 2.1.3    | Ebene Wellen und andere verallgemeinerte Basiszustände | 24 |
|   | 2.2  | Dirac-   | Notation   | 26 |
|   |      | 2.2.1    | Einführung   | 26 |
|   |      | 2.2.2    | "ket" und "bra" liefert Bracket                        | 26 |
|   |      | 2.2.3    |  | 27 |
|   |      | 2.2.4    |  | 27 |
|   | 2.3  | Darste   |  | 28 |
|   | 2.4  | Eigenv   | vert–Gleichungen / Observablen                         | 29 |
|   |      | 2.4.1    | •  | 29 |
|   |      | 2.4.2    | 9 , 9  | 30 |
|   |      |          |  |    |
| 3 | Post | tulate d | ler Quantenmechanik                                    | 33 |
|   | 3.1  |          | •  | 33 |
|   | 3.2  | Schröd   | linger Gleichung / allgemeine Resultate                | 35 |
|   |      | 3.2.1    |  | 35 |
|   |      | 3.2.2    |  | 36 |
|   |      | 3.2.3    | 9  | 37 |
|   |      | 3.2.4    | Zeitliche Entwicklung von Zuständen                    | 37 |
| 4 | Der  | Harmo    | nische Oszillator (HO)                                 | 39 |
| - | 4.1  |          | ,  | 39 |
|   | 4.2  |          | _  | 39 |
|   | .=   |          |  | 39 |

|     | 4.2.2                    | H.O. Algebraische Lösung  | 41 |  |  |
|-----|--------------------------|---|----|--|--|
| 4.3 | Diskussion der Resultate |   |    |  |  |
|     | 4.3.1                    | Erwartungswerte   | 45 |  |  |
|     | 4.3.2                    | Qualitativer Beitrag zum Grundzustand                             | 45 |  |  |
| 4.4 | Dreidi                   | mensionaler Harmonischer Oszillator in kartesischen Koordinaten . | 45 |  |  |

 $\overline{Seite}$  3

#### Literaturangaben

- Cohen-Tannoudji, Diu, Laloë (Grundlage dieser Vorlesung)
- Landau Lifshitz (knapp)
- Messiah (ausführlich)
- Dawydow (Viele Anwendungsbeispiele)
- Nolting Band 5 (O-Ton: "billig")
- Schwabl

# Historische Entwicklung (1900–1925/27)

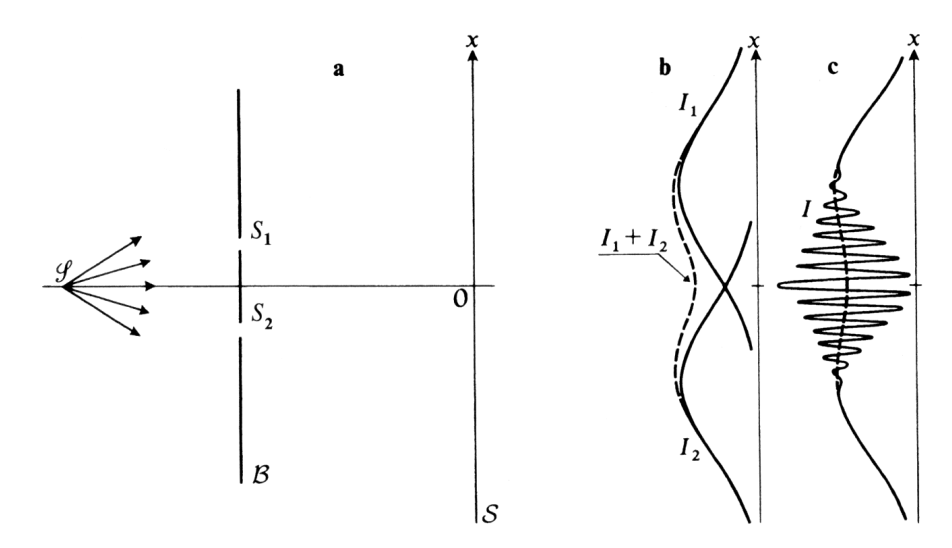
Planck → Heisenberg / Schrödinger

"Kopenhagener Interpretation"

Dualität zwischen Wellenbild und Teilchenbild fürs Photon

Dualität zwischen Wellenbild und Teilchenbild fürs Elektron

Doppelspalt Experiment



# 1 Einführung – einfache eindimensionale Probleme

- Die Quantenmechanik findet in fast allen Gebieten der Physik Verwendung
- Die Stabilität der Materie beruht auf der Quantemechanik
- Diskrete Atomniveaus  $\Rightarrow$  diskrete Übergangsenergie  $\rightarrow$  Farben
- Halbleiter: Bändermodell
- Kernphysik: Statistischer Charakter des radioaktiven Zerfalls
- Verschränkte Zustände: EPR-Paradoxon (Einstein, Podolski, Rosa)
- Verknüpfung von QM & Relativitätstheorie ⇒ Existenz von Antiteilchen

# 1.1 Elektromagnetische Wellen & Photonen

### 1.1.1 Zusammenhang zwischen Energie und Frequenz

Planck:  $E = hf = \hbar\omega$ 

$$h = \frac{h}{2\pi}$$
  $h = 6.62 \cdot 10^{-34} Js$ , Wirkungsquantum"

Erinnerung: Wirkung  $\equiv \int_{t_1}^{t_2} p(t) \cdot \dot{q}(t) dt$ 

Später: Energie-Differenz von Atomniveaus =  $\hbar\omega_{\text{Photon}}$ 

entsprechend: Impuls  $\leftrightarrow$  Wellenlänge

Compton-Streuung

 $\gamma + e \rightarrow \gamma + e$  (mit anderen Impulsen)

Impulser haltung:  $\overrightarrow{p} = \hbar \underbrace{k}_{2\pi/\lambda}$ 

#### 1.1.2 Ausbreitung

Intensität (Energiedichte / Zeiteinheit)  $I(x) \sim |E(x)|^2$ 

Beitrag der durch den Spalt 1 bzw. 2 fallenden Welle

$$E(x) = E_1(x) + E_2(x)$$

$$E(x) = E_1(x) + E_2(x)$$

$$I \sim |E_1(x) + E_2(x)|^2 = I_1(x) + I_1(x) + \underbrace{2E_1(x)E_2(x)}_{\text{Interferenzterm}}$$

Entsprechender Ansatz für Wellenfunktion:

 $I(x) \Rightarrow$  Wahrscheinlichkeitsverteilung auf dem Schirm. Die Bahn eines einzelnen Photons kann nicht vorhergesagt werden.

#### Anmerkungen

• Superpositionsprinzip

 $E_1(x), E_2(x)$  sind Lösungen der Maxwell-Gleichungen

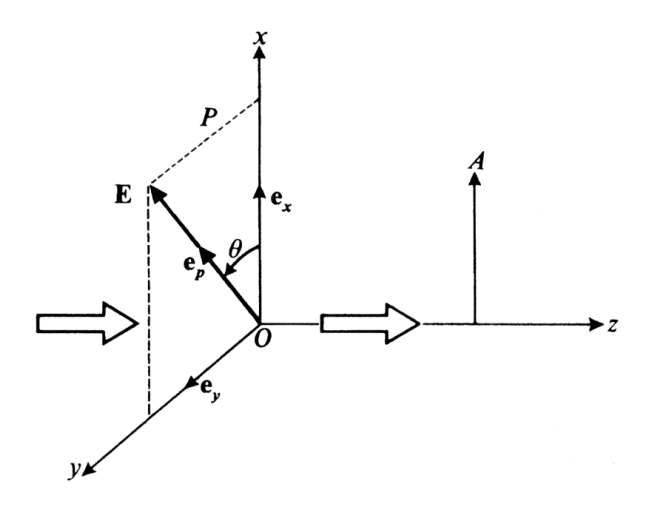
 $\Rightarrow E(x) = \lambda_1 E_1(x) + \lambda_2 E_2(x)$  ist ebenfalls Lösung, denn E genügt linearen DGL! (gilt auch für Wellenfunktion  $\Psi$  in der QM)

- I(x) = Wahrscheinlichkeitsverteilung. Eine große Zahl von Photonen ist erforderlich für Interferenzmuster.
- Wichtiger Unterschied: Elektrisches Feld ist reell. Gelegentliche Beschreibung durch komplexe Zahlen:  $\Re \left( E e^{i\omega t} \hat{=} E \cos \omega t \right)$

QM:  $\Re[\Psi]$  und  $\Im[\Psi]$  sind we sentlich

#### 1.1.3 Spektralzerlegung

Polarisiertes Licht mit Ausbreitungsrichtung  $\vec{e}_z$  fällt auf Analysator A



**Klassisch:** P polarisiert Licht in  $\vec{e}_P$  Richtung

$$E(\vec{r},t)=E_0\vec{e}_Pe^{i(kz-\omega t)}$$
Intensität  $E_0^2$ hinter P  
 Intensität hinter A:  $E'(\vec{r},t)=E'_0\vec{e}_xe^{i(kz-\omega t)}$ , wobe  
i $E'_0=E_0\vec{e}_x\vec{e}_P=E_0\cos\theta$   $I_A=E'^2_0=E^2_0\cos^2\theta$ 

**QM:** Photon wird in Analysator gestoppt (Wahrscheinlichkeit =  $\sin^2 \theta$ ) oder durchgelassen (Wahrscheinlichkeit =  $\cos^2 \theta$ )  $\Rightarrow$  2 mögliche Resultate. (klassisch: Welle wird geschwächt)

Nach A würde das Photon weitere Analysatoren (bezüglich x-Richtung) sicher durchlaufen: Nach A ist es "im Eigenzustand zu A".

Es gibt hier zwei Eigenzustände mit Polarisation  $\vec{e}_x$  und  $\vec{e}_y$ . Für diese ist das Messresultat in A sicher.

Jeder Zustand kann in Eigenzustände von A zerlegt werden:

$$\vec{e}_P = \cos\theta \vec{e}_x + \sin\theta \vec{e}_y$$

# elektromagnetisches Feld

•  $I(x) \sim |E(x)|^2$ 

• Überlagerungsprinzip

$$E_1, E_2$$
 Lösung  $\Rightarrow E = \lambda E_1 + \lambda E_2$   
 $E$  ist Lösung

• Spektralzerlegung

Jeder Zustand mit Polarisation  $\vec{e}_P$  kann in Eigenzustand  $\vec{e}_x$  und  $\vec{e}_y$  zerlegt werden.

#### 1.2 Materie-Wellen

Übertragung der Dualität von Wellen und Teilchen auf Teilchen mit Masse  $m \neq 0$  (de Broglie) ... Schrödinger

- 1. Klassische Trajektorie x(t)
  - ⇒ Zeitlich veränderliche Wellenfunktion

$$\Psi(\vec{r},t)$$

2. Wahrscheinlichkeitsdichte =  $|\Psi(\vec{r},t)|^2$ 

(Kopenhagener Interpretation), das Teilchen am Ort  $\vec{r}$  zur Zeit t zu finden.

- $\Rightarrow$  Normierung  $\int |\Psi|^2 dV = 1$
- 3. Klassische Bewegungsgleichung ⇒ Schrödingergleichung

$$\boxed{-\frac{\hbar^2}{2m}\Delta\Psi(\vec{r},t) + V(\vec{r},t)\Psi(\vec{r},t) = i\hbar\partial_t\Psi(\vec{r},t)}$$

Lineare, partielle DGL, homogen  $\Rightarrow$  Überlagerungsprinzip erster Ordnung in t Anfangswertproblem:  $\Psi(\vec{r},t)|_{t_0}$  legt  $\Psi(\vec{r},t) \forall t$  fest.

#### 1.3 Wellenpakete

#### 1.3.1 Freies Teilchen (V=0)

$$-\frac{\hbar^2}{2m}\Delta\Psi(\vec{r},t) = i\hbar\partial_t\Psi(\vec{r},t) \tag{1}$$

DGL mit konstanten Koeffizienten.

 $\Psi_{\vec{k}}(\vec{r},t) = Ae^{i(\vec{k}\vec{r}-\omega_k t)}$ ebene Welle,  $A,\vec{k}$  beliebig

$$\omega_k = \frac{\hbar \vec{k}^2}{2m}; (\hat{=}E = \frac{\vec{p}^2}{2m})$$

$$\omega_k = \frac{\hbar \vec{k}^2}{2m}; (\hat{=}E = \frac{\vec{p}^2}{2m})$$

$$|\Psi|^2 = |A|^2 \text{ konstant} \Rightarrow \text{nicht integrierbar}$$

Lineare DGL: jede Überlagerung von Lösungen mit verschiedenen k ist Lösung. Normierbare Überlagerung von ebenen Wellen  $\Rightarrow$  Wellenpaket

$$\int \frac{dk}{(2\pi)^{\frac{3}{2}}} g(\vec{k}) e^{i(\vec{k}\vec{r} - \omega_k t)} = \Psi(\vec{r}, t)$$
(2)

ist Lösung von (1).

Bei fester Zeit t (= 0 per Konvention)  $g(\vec{k})$  = Fouriertransformation von  $\Psi(\vec{r},t=0)$ 

$$g(\vec{k}) = \int \frac{d\vec{r}}{(2\pi)^{\frac{3}{2}}} g(\vec{k}) e^{i\vec{k}\vec{r}} = \Psi(\vec{r}, t = 0)$$
(3)

Zu einer festen Zeit t(=0) kann zu  $\Psi(\vec{r},0)$  immer die Fouriertransformation angegeben werden. Gleichung (2) legt dann  $\Psi(\vec{r},t)$   $\forall$  t fest. (Bei Anwesenheit eines Potentials gilt aber <u>nicht</u> mehr  $E=\hbar\omega_k=\frac{\hbar^2\vec{k}^2}{2m}$ )

Zeitliche Entwicklung eines Wellenpaketes:

 $\Rightarrow$ elektromagnetische Welle im Vakuum

$$\omega = ck$$
  $(f = c/\lambda)$  – lineares Dispersionsprinzip

 $\Rightarrow$  Form des Wellenpakets bleibt erhalten.

Im Medium oder in Halbleitern:  $\omega(k)$  ist Funktion von  $k \Rightarrow$  Wellenpaket wird verformt.

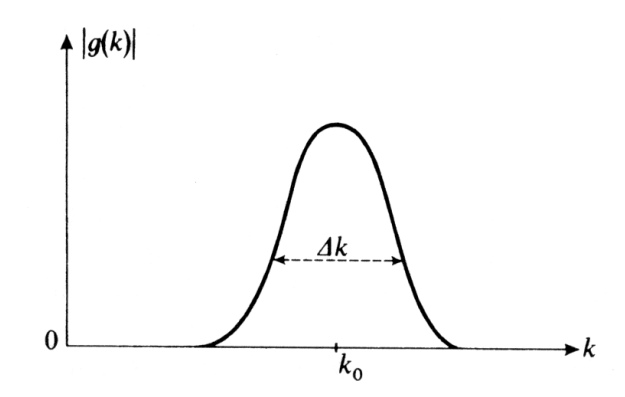
$$v_{Phaseng.} = \frac{\omega(k)}{k}$$
  $v_{Gruppeng.} = \frac{d\omega}{dk}$ 

### **1.3.2** Zusammenhang zwischen $\Psi(x,t=0)$ und g(x)

Frage: "Breite" von  $\Psi(x,0)$ und g(k)

Ansatz oBdA: 
$$g(x) = \underbrace{|g(x)|}_{\text{Betrag}} \underbrace{e^{\alpha(k)}}_{\text{Phase}}$$

**Annahmen:** 1. g ist glatt, und nur im  $\left[k_0 - \frac{\Delta k}{2}; k_0 + \frac{\Delta k}{2}\right]$  wesentlich von 0 verschieden



2.  $\alpha(k)$  variert nur wenig in diesem Bereich:

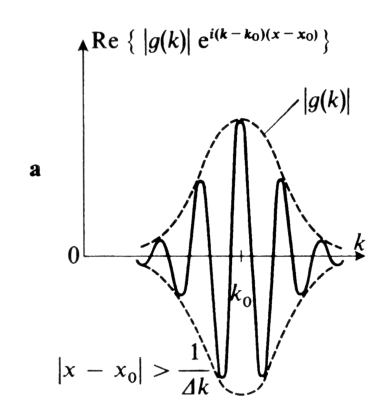
$$\Rightarrow$$
 daher Taylor:  $\alpha(k) = \alpha(k_0) + (k - k_0) \underbrace{\frac{d\alpha}{dk}}_{=-X_0} |_{k=k_0}$ 

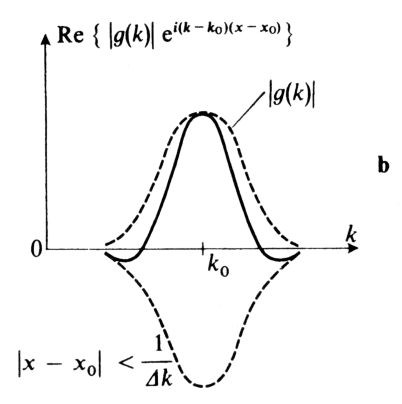
Konsequenz für  $\Psi(x,0)$ 

$$\begin{split} \Psi(x,t=0) &= \int \frac{dk}{2\pi} e^{ikx} \\ &= \int \frac{dk}{\sqrt{2\pi}} \cdot |g(k)| e^{i[\alpha(k_0) - (k-k_0)x_0} \overbrace{+k_0x - k_0x}^{\text{erweitert}} + kx] \end{split}$$

$$\Longrightarrow \Psi(x,t=0) = e^{i[\alpha k_0 + k_0 x]} \int \frac{dk}{\sqrt{2\pi}} |g(k)| e^{i[k-k_0][x-x_0]}$$

- Falls  $x = x_0$  dann  $e^{(\cdots)} = 1$   $\rightarrow$  nur positive Beiträge  $\Rightarrow |\Psi|$  ist maximal
- Für  $|x x_0| \gg \frac{1}{\Delta k}$ : viele Oszillationen innerhalb des Integrationsgebiet  $\Rightarrow |\Psi|$  ist klein





→ Auslöschung für:

$$(x-x_0)\Delta k \gg 1$$

→ <u>Maximum</u> des Wellenpakets im Ortsraum bei:

 $x_0 = -\left[\frac{d\alpha}{dk}\right]_{k-k_0}$  (Methode der stationären Phase)

 $\longrightarrow \underline{\text{Breite}}$  im Ortsraum:

$$\Delta x \sim \frac{1}{\Delta k}$$

# Physikalische Bedeutung / Nutzen $p = \hbar k$

 $\Longrightarrow$  Zusammenhang zwischen Breite der Verteilung im Ortsraum:  $\frac{dN}{dx}=|\Psi(x,0)|^2$  und der Breite im Impulsraum:  $\frac{dN}{dp}=|\tilde{\Psi}(p,=)|^2$  mit:  $\Psi(x,0)=\frac{1}{\sqrt{2\pi\hbar}}\int dp\tilde{\Psi}(p,0)e^{i\frac{p}{\hbar}}$ 

#### 1.3.3 Zeitliche Entwicklung eines Freien Wellenpaketes

ebene Welle:

$$\Psi(x,t) = e^{i(kx-wt)} \text{ mit } \omega = \omega(k)v_{\text{Phase}} = v_{\varphi}(k) = \frac{\omega}{|k|}$$

em Welle im Vakuum: [ein Wellenpaket]

$$\int_{-\infty}^{\infty} \frac{dk}{\sqrt{2\pi}} g(k) e^{i(kx-\omega t)} = \underbrace{\int_{0}^{\infty} \frac{dk}{\sqrt{2\pi}} g(k) e^{i|k|(x-ct)}}_{f_1(x-ct)} + \underbrace{\int_{-\infty}^{0} \frac{dk}{\sqrt{2\pi}} g(k) e^{i|k|(x+ct)}}_{f_2(x+ct)}$$

in QM:

$$\int \frac{dk}{\sqrt{2\pi}} g(k) e^{i(\alpha(\omega) - \omega(k)t)}$$

also  $\alpha(k) - \omega(k)t$  statt  $\alpha(k)$  wie vorhin

$$x_m a x(t) = -\frac{d}{dk} (\alpha(k) - \omega(k)t)$$

 $\Longrightarrow$  Maximum verschiebt sich um:  $\frac{d\omega(k)}{dk}|_{k_0}t$ 

$$v_{gr} = \frac{d\omega}{dk}|_{x_0} = \frac{\hbar k_0}{m} = \frac{p_0}{m}$$

wie im klassischen, nur mit  $\Psi$  da (Funktion der Zeit breiter)

#### 1.4 Zeitunabhängiges Potential

#### 1.4.1 Separation der Variablen $\vec{r}, t$ , stationäre Zustände

Schrödingergleichung:

$$\underbrace{i\hbar\partial_t\Psi(\vec{r},t)}_{\text{Ableitung nach t}} = \underbrace{-\frac{\hbar^2}{2m}\Delta\Psi(\vec{r},t) + \underbrace{V(\vec{r})}_{\text{Ableitung nach }\vec{r}} \Psi(\vec{r},t)}_{\text{Ableitung nach }\vec{r}}$$

Ansatz:  $\Psi(\vec{r},t) = \varphi(\vec{r}) \cdot \chi(t)$ 

$$\Rightarrow \underbrace{\frac{1}{\chi(t)}i\hbar\partial_t\chi(t)}_{\text{Funktion von t, unabhängig von }\vec{r}\Rightarrow \text{const.}} = \underbrace{\frac{1}{\varphi(\vec{r})}\left(-\frac{\hbar^2}{2m}\Delta\varphi(\vec{r}) + V(\vec{r})\varphi(\vec{r})\right)}_{\text{Funktion von }\vec{r} \text{ unabhängig von t}}$$

1. Lösung für x(t):

$$i\hbar \frac{\partial}{\partial_t} x(t) = \hbar \omega x(t)$$

$$x(t) = Ae^{-i\omega t}$$

$$\left(-\frac{\hbar^2}{2m}\Delta + V(\vec{r})\right)\varphi(\vec{r}) = \hbar\omega\varphi(\vec{r})$$

Planck-Einstein,  $\hbar\omega\varphi(\vec{r})$ 

$$\left(-\frac{\hbar^2}{2m}\Delta + V(\vec{r})\right)\varphi(\vec{r}) = E\varphi(\vec{r}) \quad \leftarrow : \text{Zeitunabhängige Schrödinger Gleichung}$$

Eigenwert-Gleichung eines linearen Operator mit:

E = Eigenwert

 $\varphi = Eigenfunktion$ 

 $\Psi(\vec{r},t) = \varphi(\vec{r}) \cdot e^{-i\omega t}$ : stationärer Zustand.

 $|\Psi(\vec{r},t)|^2$  ist unabhängig von der Zeit.

Schrödinger–Gleichung  $\Rightarrow$  Zeitentwicklung der Wellenfunktion  $\Psi$ 

Zeitunabhängige Schrödinger–Gleichung  $\Rightarrow$ stationäre Zustände und deren Energien

Im Allgemeinen gibt es mehrere Lösungen

$$H\varphi_n(\vec{r}) = E_n\varphi_n(\vec{r}),$$

stationäre Zustände:  $\Psi(\vec{r},t) = e^{iE_n t/\hbar} \varphi_n(\vec{r})$ 

Dann ist

$$\Psi(\vec{r},t) = \sum_{1} c_n \varphi_n(\vec{r}) e^{iE_n t/\hbar}$$
(4)

Lösung der Schrödinger Gleichung.

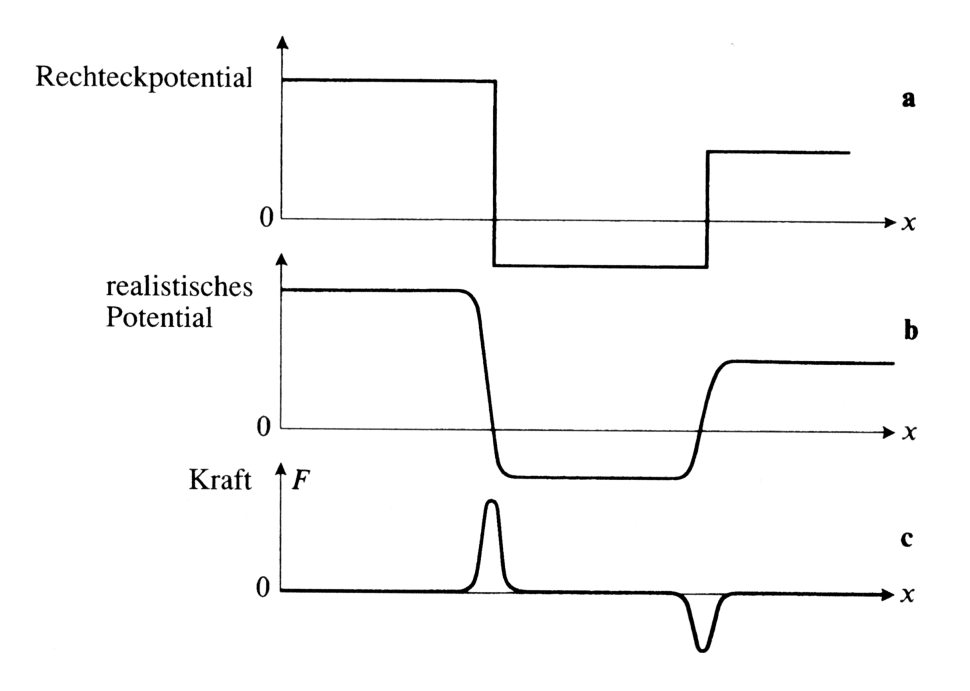
 $|\Psi(\vec{r},t)|^2$  ist im Allgemeinen zeitabhängig, Beispiel:  $c_1=c_2=1$ 

$$\begin{aligned} |\Psi|^2 &= \left| \varphi_1 e^{-i\frac{E_1 t}{\hbar}} + \varphi_2 e^{-i\frac{E_2 t}{\hbar}} \right| \\ &= \left| |\varphi_1|^2 + |\varphi_2|^2 + \text{Interferenzterm (ist zeitabhänig)} \right| \end{aligned}$$

Später: Jede Lösung der Schrödinger-Gleichung kann auf die Form (5) gebracht werden.

#### 1.4.2 Stufenpotentiale (qualitativ)

Idealisierung von Grenzflächen



klassisches Teilchen: läuft von links nach rechts über die Stufe, solange  $E > V_0$ . oder wird reflektiert für  $E < V_0$ 

#### Stationäre Schrödinger-Gleichung

$$\left( -\frac{\hbar^2}{2m} \frac{d^2}{dx^2} + V(x) \right) \varphi(x) = E\varphi(x)$$

$$\left( \frac{d^2}{dx^2} \frac{2m}{\hbar^2} \left( E - V(x) \right) \right) \varphi(x) = 0$$

Analogie zur Optik: Ansatz für elektrisches Feld:

$$\vec{E}(\vec{r},t) = \vec{e}E(x)e^{-i\omega t}$$

Wellengleichung im Medium:

$$\left(\frac{d^2}{dx^2} - \frac{n^2}{c^2} \frac{d^2}{dt^2}\right) E(x)e^{-i\omega t} = 0$$

$$\left[\left(\frac{d^2}{dx^2} + \frac{n^2\omega^2}{c^2}\right) E(x) = 0\right]$$

für große n  $\rightarrow$  kleine Phasengeschwindigkeit

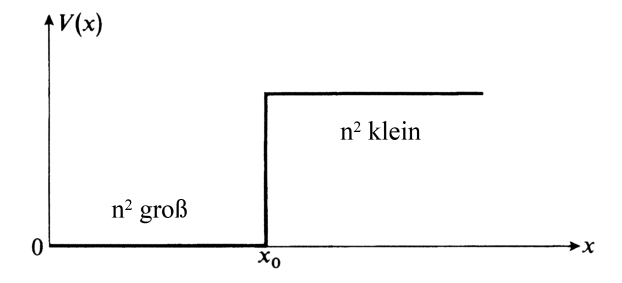
Analogie in QM: 
$$\frac{2m}{\hbar^2}(E-V) = \frac{n^2\omega^2}{c^2}$$

Analogie in QM: 
$$\frac{2m}{\hbar^2}(E-V) = \frac{n^2\omega^2}{c^2}$$
  
 $n^2 \binom{>0}{<0} \Leftrightarrow \binom{\text{transparent}}{\text{totalreflektierendes}}$  Medium, z.B.  $\binom{\text{Glass}}{\text{Metal}}$ 

Ausbreitung: 
$$\begin{cases} e^{\pm ikx} & k = \frac{\omega}{c}\sqrt{n^2} & n^2 > 0 \\ e^{\pm i\varrho x} & \varrho = \frac{\omega}{c}\sqrt{n^2} & n^2 < 0 \end{cases}$$

Beispiele:

#### Stufe:



Brechungsindex:

$$n_1 = \frac{c}{\hbar\omega}\sqrt{2mE}$$

$$n_2 = \frac{c}{\hbar\omega}\sqrt{2m(E - V_0)}$$

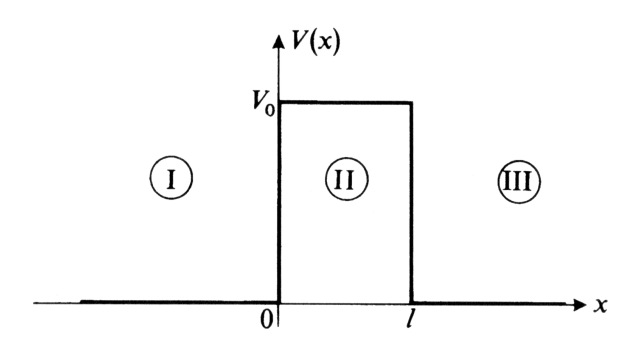
$$E > V_0 \implies n_1^2 > n_2^2 > 0$$

Teilchenreflexion an der Grenzschicht zwischen zwei Medien. klassisch: Teilchen läuft langsam weiter.

$$V_0 > E > 0$$
  $n_1^2 > 0;$   $n_2^2 < 0$   $n_2 = i \frac{c}{\hbar \omega} \sqrt{2m(V_0 - E)}$ 

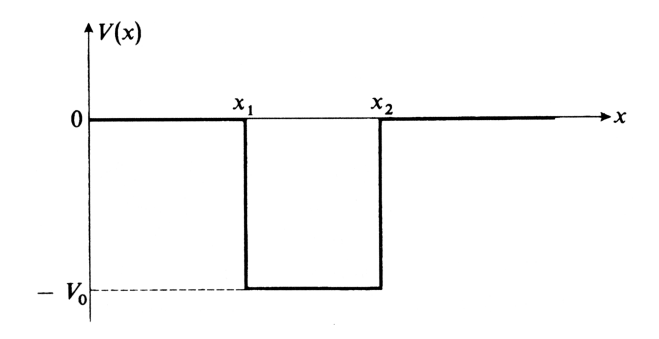
Totalrefexion, aber Eindringen in die Grenzschicht.

#### Barriere:



Optik: Welle dringt von (1) nach (2) ein, wird dort gedämpft (ein Teil wird auch reflektiert), läuft bis zum rechten Rand, und dort zum Teil weiter.

Topf:



klassisch: beliebige Energien sind zulässig

Optik: oszillierende Wellen im Bereich (2)

Dämpfung im Bereich (1), (3), stehende Wellen nur für diskrete Werte von k. E > Oklassisch: teilweise Transmission jedoch keine Reflektion bei: Luft|Glas|Luft

# 1.4.3 Stufenpotentiale (quantitativ)

Ausgangspunkt:  $\left(\frac{d^2}{dx^2} + \frac{2m}{\hbar^2}(E - V(x))\right)\varphi(x) = 0$ V stückweise konstant.

1. 
$$E > V$$
  $\varphi(x) = Ae^{ikx} + A'e^{-ikx}$ 

A, A' komplex, beliebig

$$\frac{\hbar^2 k^2}{2m} = E \cdot V$$

2. 
$$E < V$$
  $\varphi(x) = Be^{\varrho x} + Be^{-\varrho x}$  mit  $\frac{(\hbar \varrho)^2}{2m} = V - E$ 

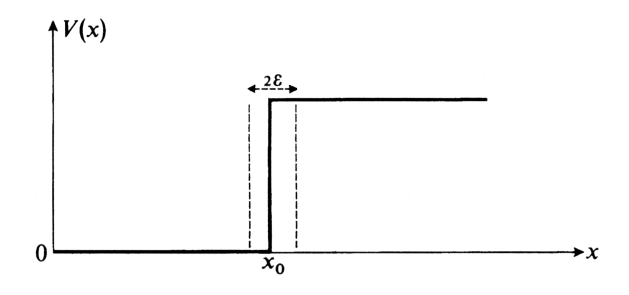
3. 
$$E = V$$
  $\varphi(x) = c + c'x$ 

Anschlussbedingungen bei der Sprungstelle:

- 1.  $\varphi$  ist stetig an der Sprungstelle
- 2.  $\Psi$  ist stetig an der Sprungstelle

3. 
$$\frac{d^2}{dx^2}\Psi(x_0+\varepsilon) - \frac{d^2}{dx^2}\Psi(x_0-\varepsilon) = \frac{2m}{\hbar^2}(V(x_0+\varepsilon) - V(x_0-\varepsilon))\varphi(x_0)$$

Ersetze den Sprung durch glatten Übergang in einem Intervall  $< -\varepsilon, \varepsilon >$ 



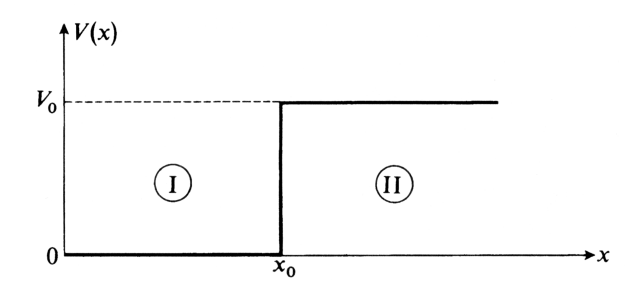
integriere die Schrödinger Gleichung von  $x_0 - \varepsilon$  bis  $x_0 + \varepsilon$ 

$$\int dx \frac{d^2}{dx^2} \Phi(x) \Big|_{x_0 - \varepsilon}^{x_0 + \varepsilon} = \frac{2m}{\hbar^2} \int dx \left[ \underbrace{(V_{\varepsilon}(x) - E)}_{\text{beschränkt}} \underbrace{\Phi(x)}_{\text{sei beschränkt}} \right]_{x_0 - \varepsilon}^{x_0 + \varepsilon}$$
$$\lim_{\varepsilon \to 0} \left( \frac{d}{dx} \Phi(x_0 + \varepsilon) \right) - \left( \frac{d}{dx} \Phi(x_0 - \varepsilon) \right) = 0$$

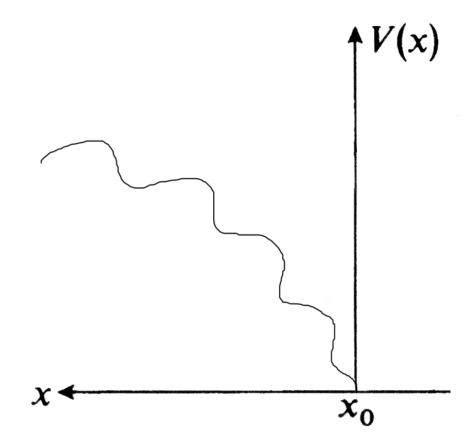
- 1. Ableitung ist stetig (gilt nicht bei  $\infty$  hoher Barriere)
- 2.  $\Longrightarrow$  Funktion  $\Phi$  ist stetig
- 3. Schrödinger Gleichung:  $\frac{d^2}{dx^2}\varphi(x_0+\varepsilon) \frac{d^2}{dx^2}\varphi(x_0-\varepsilon) = \frac{2m}{\hbar^2}\left(V(x_0+\varepsilon) V(x_0-\varepsilon)\right)\varphi(x_0)$ (plus Terme  $O(\varepsilon)$ )

$$\Delta V$$
 ist  $\lim_{\varepsilon \to 0} \left( V(x_0 + \varepsilon) - V(x_0 - \varepsilon) \right) = \frac{2m}{\hbar^2} \Delta V(x_0) \varphi(x_0)$  ist automatisch erfüllt, wenn (1), (2) gilt und  $k, \varrho$  korrekt gewählt werden.

Wenn Barriere  $\infty$  hoch ist  $\Rightarrow \varphi$  stetig; verschwindet im verbotenen Bereich. Anschlussbedingung:  $\varphi(x_0) = 0$ 



#### **1.4.4** Beispiel: Stufe bei $x_0 = 0$ $E > V_0$



in (1): 
$$k_1 = \sqrt{\frac{2mE}{\hbar^2}} \longrightarrow \Phi_1(x) = A_1 e^{ik_1 x} + A_1' e^{-ik_1 x}$$
  
in (2):  $k_2 = \sqrt{\frac{2m(E - V_0)}{\hbar^2}} \longrightarrow \Phi_2(x) = A_2 e^{ik_2 x} + A_2' e^{-ik_2 x}$ 

1.  $A_1 + A_1' = A_2 + A_2'$ 

2. 
$$k_1(A_1 - A_1') = k_2(A_2 + A_2')$$

- 3. folgt aus (1),(2) (nachrechnen!) 2 Gleichungen mit 4 Unbekannten  $\Longrightarrow$ ?
  - Normierung ist irrelevant, bleibt unbestimmt. Entweder nur Verhältnisse:  $\frac{A_2}{A_1}$ ;  $\frac{A_2'}{A_1'}$ ;  $\cdots$ oder wir setzen  $A_1 = 1$
  - in (2) nur auslaufende Welle  $\Rightarrow A_2' = 0$ Randbedingung

In (1) einlaufende und auslaufende Welle (= reflektierte Welle)

$$(1),(2)(A'_{2} = 0) \Rightarrow \frac{A'_{1}}{A_{1}} = \frac{k_{1} - k_{2}}{k_{1} + k_{2}},$$
$$\frac{A_{2}}{A_{1}} = \frac{2k_{1}}{k_{1} + k_{2}},$$

Wähle  $A \equiv 1$ 

$$\varphi(x) = \begin{cases} e^{ik_1x} + \frac{k_1 - k_2}{k_1 + k_2} e^{-ik_1x} & x < 0\\ \frac{2k_1}{k_1 + k_2} e^{ik_2x} & x > 0 \end{cases}$$

**Reflexionskoeffizient:**  $R = \left| \frac{k_1 - k_2}{k_1 + k_2} \right|^2$ 

Transmissionskoeffizient:  $T=\left|\frac{2k_1}{k_1+k_2}\right|^2\cdot\left(\frac{k_2}{k_1}\right)=\frac{4k_1k_2}{(k_1+k_2)^2}$ 

[bild]

 $\left(\frac{k_1}{k_2}\right)$   $\hat{=}$  Verhältnis der Geschwindigkeiten

$$R + R = 1$$
 
$$\frac{(k_1 - k_2)^2}{(k_1 + k_2)^2} + \frac{4k_1k_2}{(k_1 + k_2)^2} = 1$$

# **1.4.5** Stufe $E < V_0$

$$\implies k_2 \rightarrow i\varrho_2 = i\sqrt{\frac{2m(V_0 - E)}{\hbar^2}}$$

$$\Phi_2 = B_2 e^{\varrho_2 x} + \Phi_2 = B_2' e^{-\varrho_2 x}$$

Forderung:  $B_2 = 0$  wegen expotentiellem <u>Abfall</u> im verbotenen Bereich.

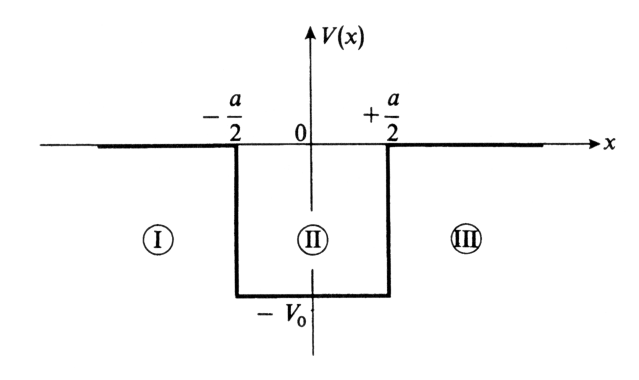
Lösung wie oben mit  $k_2 \to i \varrho_2$ ,

$$\varphi \begin{cases} e^{ik_1x} + \frac{k_1 - i\varrho_2}{k_1 + i\varrho_2} e^{-ik_1x} & x < 0 \\ \frac{2k_1}{k_1 + i\varrho_2} e^{-\varrho_2x} & x > 0 \end{cases}$$
Transmission = 0;  $\varphi \to 0$  für  $x \to +\infty$ 

$$R = \left| \frac{k_1 - i\varrho_2}{k_1 + i\varrho_2} \right|^2 = 1;$$
  
$$\frac{k_1 - i\varrho_2}{k_1 + i\varrho_2} = e^{-2i\delta}$$
  
$$\delta = \arctan \frac{\varrho_2}{k_1}$$

## 1.4.6 Potentialtopf

$$-V_0 < E < 0$$



$$\phi_1 = B_1 e^{\varrho x} + B_1' e^{-\varrho x}$$

$$\phi_3 = B_3 e^{\varrho x} + B_3' e^{-\varrho x}$$

$$\phi_2 = A_2 e^{\varrho x} + A_2' e^{-\varrho x}$$

mit:

$$\varrho = \sqrt{\frac{-2mE}{\hbar^2}} \qquad k = \sqrt{\frac{-2mE}{\hbar^2} \underbrace{(V_0 + E)}_{>0}}$$

4 Konstanten - 1 Normierung - 4 Anschlussbed.:  $\Rightarrow$  System ist überbestimmt, hat nur Lösung für bestimmte diskrete E bzw  $\varrho$  oder k.

Anschlussbedingungen: bei  $x = -\frac{a}{2}$ ,

$$\varphi \quad \text{stetig} \quad B_1 e^{-\varrho \frac{a}{2}} = A_2 e^{-ik\frac{a}{2}} A_2' e^{+ik\frac{a}{2}}$$

$$\varphi' \quad \text{stetig} \quad \varrho B_1 e^{-\varrho \frac{a}{2}} = ikA_2 e^{-ik\frac{a}{2}} - ikA_2' e^{ik\frac{a}{2}}$$

$$A_2 = B_1 \left(\frac{ik+\varrho}{2ik}\right) e^{(ik-\varrho)\frac{a}{2}}$$

$$A_2' = B_1 \left(\frac{ik-\varrho}{2ik}\right) e^{(-ik-\varrho)\frac{a}{2}}$$

$$\frac{A_2}{A_2'} = \left(\frac{ik+\varrho}{ik-\varrho}\right)e^{ika} \left| \frac{A_2}{A_2'} = \left(\frac{ik-\varrho}{ik+\varrho}\right)e^{-ika} \text{bei } y = +\frac{a}{2} \right|$$
(5)

identisch für  $\varrho \to -\varrho$   $a \to -a$ 

- a) Normierung bleibt zunächst unbestimmt
- b) Gleichung Gl. (5) und Gl. (5) können zusammen nur für bestimmte Energien erfüllt werden:  $\Longrightarrow \left[\left(\frac{ik-\varrho}{ik+\varrho}\right)^2=e^{2ika}\right]$  Eigenwert–Gleichung für E bzw.

$$k = \sqrt{\frac{-2mE}{\hbar^2}(V_0 + E)} \qquad \varrho = \sqrt{\frac{-2mE}{\hbar^2}}$$

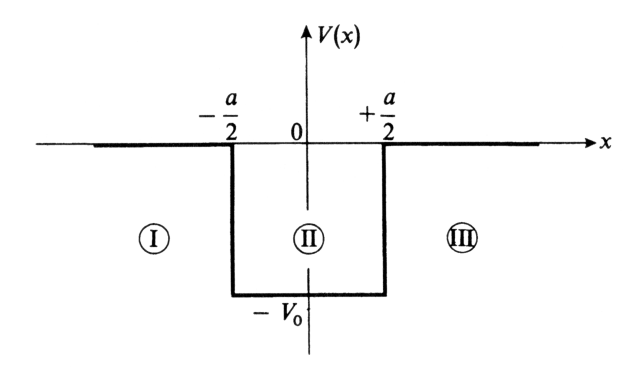
Zwei Lösungssystem:

$$\frac{ik - \varrho}{ik + \varrho} = \left\{ \frac{e^{ika}}{-e^{ika}} \qquad \frac{\underline{ka}}{2} = \arctan \frac{\varrho}{\underline{k}} \right\}$$

#### Potential topf E < 0

Nur beschränkte Zahl von Lösungen.

Ansatz: 
$$\varphi_1 = B_1 e^{+\varrho x}$$
  $x < -\frac{a}{2}$   $\varphi_3 = B_2 e^{-\varrho x}$   $x > \frac{a}{2}$   $x > \frac{a}{2}$   $-\frac{a}{2} < x < \frac{a}{2}$ 



4 Anschlussbedingungen für  $B_1, B_2, A_2, A_2'$ Zunächst nur Verhältnisse festgelegt  $\Rightarrow$  System überbestimmt  $\Rightarrow$  Gleichung für E;

Anschluss bei 
$$x = -\frac{a}{2}$$
:  $\frac{A_2}{A_2'} = \left(\frac{ik+\varrho}{ik-\varrho}\right)e^{ika}$ 

$$x = \frac{a}{2}$$
:  $\frac{A_2}{A_2'} = \left(\frac{ik - \varrho}{ik + \varrho}\right)e^{-ika}$ 

$$\left(\frac{ik-\varrho}{ik+\varrho}\right)^2 = e^{2ika}$$

Eigenwert–Gleichung für E mit  $k=\sqrt{\frac{2m}{\hbar^2}(V_0+E)}$  ,  $\varrho=\sqrt{\frac{2m}{\hbar^2}(-E)}$ 

Aus der Form

$$\left(\frac{ik-\varrho}{ik+\varrho}\right)^2 \cdot e^{2ika} = 1$$

sieht man, dass  $\frac{A_2}{A_2'} = \pm 1$  ist.

 $\Rightarrow$ Zwei Lösungssysteme: Gerade und ungerade.

$$\frac{ik - \varrho}{ik + \varrho} = +e^{ika} \text{ und } -e^{ika}$$

Etwas trickreiche Algebra für den ersten Fall  $(+e^{ika})$ :

$$\underbrace{\frac{k+i\varrho}{k-i\varrho}}_{}=e^{2i\theta}$$

Betrag =1

mit  $\tan \theta = \frac{\varrho}{k}$ ; oder  $\theta = \arctan \frac{\varrho}{k}$ 

$$e^{2i\theta} = e^{ika}$$

$$e^{i\theta} = e^{ika/2}$$

$$\frac{ka}{2} = \theta = \arctan \frac{\varrho}{k}$$

$$\frac{\varrho}{k} = tan \frac{ka}{2}$$

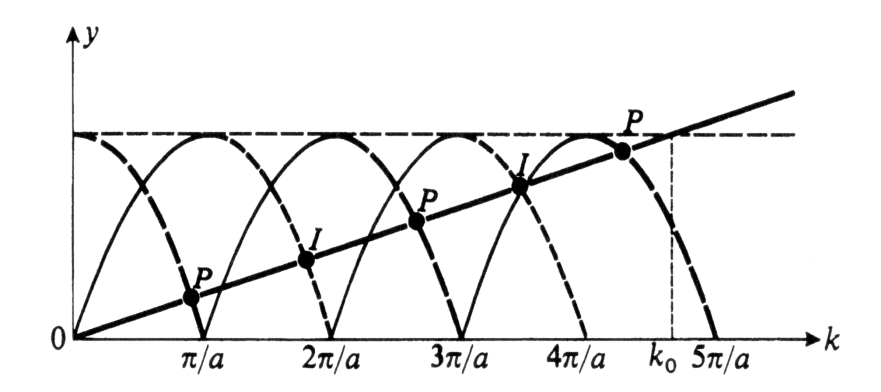
Umformung:

$$\frac{1}{\cos^2 \frac{ka}{2}} = 1 + \tan^2 \frac{ka}{2} = 1 + \frac{\varrho^2}{k^2} = \frac{k^2 + \varrho^2}{k^2} = \frac{\frac{2mV_0}{\hbar^2}}{k^2} = \frac{k_0^2}{k^2}$$

$$Mit k_0 = \frac{2mV_0}{\hbar^2}$$

$$\left|\cos\frac{ka}{2}\right| = \frac{k}{k_0}$$
  $\tan\frac{ka}{2} > 0$  gerade Lösung

$$\begin{array}{l} \operatorname{Aus} \left(\frac{ik-\varrho}{ik+\varrho}\right) = e^{ika} \text{ folgt:} \\ \left|\sin\frac{ka}{2}\right| = \frac{k}{k_0} \qquad \tan\frac{ka}{2} < 0 \right| \quad \text{ungerade L\"osung} \end{array}$$



Für diese Wahl von  $k_0$  gibt es  $\binom{3}{2}$  Lösungen vom Typ  $\binom{G}{U}$ . Aus k folgen dann  $A_2, A_2', B_1, B_3'$ . Mit wachsendem  $k_0$ ;  $(V_0)$  erhalten wir immer mehr Lösungen und die Werte für k liegen approximativ bei  $n(\frac{\pi}{a})$ .

Für  $V_0 \to \infty$ : unendlich tiefer Topf

$$k_n = n(\frac{\pi}{a}); \quad E_n = \frac{1}{2m}(\frac{n\pi}{a})^2$$

 $k_n = n(\frac{\pi}{a});$   $E_n = \frac{1}{2m}(\frac{n\pi}{a})^2$ Für beliebig kleine  $k_0$  gibt es immer noch eine Lösung. (Schnittpunkt mit cos)

## 2 Mathematische Hilfsmittel

Wellenfunktion  $\Phi(x,t)$  ist sehr spezielle Beschreibung eines Systems.

 $|\Psi|^2 \Rightarrow$  Verteilung als Funktion von x

 $|\tilde{\Psi}|^2 \Rightarrow \text{Verteilung als Funktion von p}$ 

Alternativ: Angabe von  $E_n$  für gebundenen Zustand, oder: Mehrere  $E_n$  und relative Amplitude falls ÜBerlagerung verschiedener Energie-Eigenzustände vorliegt.

Im Allgemeinen viele Möglichkeiten (Messgrößen, Observable) für die Charakterisierung. Umgekerht gibt es verschiedene Möglichkeiten die gleiche Messung zu beschreiben:

Z.B.: Erwartungswert des Impulses:

$$\langle p \rangle = \int dp \ \tilde{\Psi}^{\star}(p) p \tilde{\Psi}(p) = \int dx \ \Psi^{\star}(x) \left(\frac{\hbar \delta_x}{i}\right) \Psi(x)$$

Ziel: Abstrakte Beschreibung eines Zustandes (statt Bahnkurve in klassischer Mechanik) als Element eines Vektorraumes (genauer: eines Hilbertraumes) und der Messgröße (≡ Observable) durch hermitische (genauer: selbstadjungierte) Operatoren unabhängig von einer Basis. Die Messung entspricht Matrixelement dieses Operators.

#### 2.1 Wellenfunktionen als Zustandsraum

#### 2.1.1 Zustandsraum §

{ Quadratintegrable Funktion }  $\equiv L^2$ 

Hier oft zusätzliche Einschränkungen, abhängig vom Problem (z.B. stetig, differenzierbar, beschränkt oder nur in einem Intervall  $\neq 0, \ldots$ )

 $\mathfrak{F} = \{ \text{ genügend reguläre Funktionen } \in L^2 \}$ 

• ¾ linearer Raum → Superpositionsprinzip

$$\Psi_1, \Psi_2, \in \mathfrak{F} \Rightarrow \Psi = \lambda_1 \Psi_1 + \lambda_2 \Psi_2 \in \mathfrak{F} \text{ da } |\Psi|^2 \text{ ebenfalls quadratintegrabel.}$$

Beweis: 
$$|\Psi|^2 = |\lambda_1|^2 |\Psi_1|^2 + |\lambda_2|^2 |\Psi_2|^2 + \underbrace{2\Re\{\lambda_1\lambda_2^{\star}\Psi_1\Psi_2^{\star}\}}_{<|\lambda_1\lambda_2|^2(|\Psi_1|^2|\Psi_2|^2)}$$

$$\Rightarrow \int dx |\Psi|^2 < |\lambda_1|^2 \int dx |\Psi_1|^2 + \dots$$

• Skalarprodukt

$$(\varphi, \Psi) \equiv \int d\vec{r} \; \varphi^{\star}(\vec{r}) \Psi(\vec{r})$$

Es gilt 
$$(\varphi, \Psi)^* = \Psi, \varphi$$

$$\rightarrow (\varphi, \Psi)$$
ist  $\left\{ \substack{\text{linear} \\ \text{antilinear}} \right\}$ bezüglich  $\left\{ \substack{\Psi \\ \varphi} \right\}$ 

d.h. 
$$(\varphi, \lambda \Psi) = \lambda(\varphi, \Psi);$$
  $(\lambda \varphi, \Psi) = \lambda^{\star}(\varphi, \Psi)$ 

Falls  $(\varphi, \Psi) = 0 \equiv \varphi, \Psi$  sind orthogonal

Ferner:  $(\varphi, \Psi) = 0 \Leftrightarrow \Psi = 0$ 

$$(\varphi, \Psi)^{\frac{1}{2}} = \text{Normierung} = \|\Psi\|$$

Schwarzsche Ungleichung

$$|(\Psi_1, \Psi_2)| \le \|\Psi_1\| \cdot \|\Psi_2\|$$

Beweis: Betrachte  $\left(\frac{\Psi_1}{\|\Psi_1\|} + \frac{\Psi_2}{\|\Psi_2\|}\right)^2 \ge 0$ 

• Lineare Operatoren:

Lineare Abbildung  $A: \varphi A \Psi$  mit  $\Psi, \varphi \in \mathfrak{F}$ 

$$A(\lambda_1\Psi_1 + \lambda_2\Psi_2) = \lambda_1 A\Psi_1 + \lambda_2 A\Psi_2$$

Beispiele:

- Ortsoperator X = Multiplikation der Wellenfunktion im Ortsraum mit x

$$X \ \Psi(x, y, z) = x \Psi(x, y, z)$$

- Ableitungsoperator:

$$D_x \ \Psi(x, y, z) = \frac{d}{dx} \Psi(x, y, z)$$

Paritätsoperator:

$$\Pi \ \Psi(x,y,z) = \Psi(-x,-y,-z)$$

- Hamiltonoperator:

$$H\ \Psi(x,y,z) = \left(-\frac{\hbar\Delta}{2m} + V(x,y,z)\right)\Psi(x,y,z)$$

Anmerkung: Der Operator A ist i.A. nicht für alle Zustände definiert, Bsp dazu:  $\Psi(x)=\sqrt{\frac{a}{2}}\frac{1}{a+|x|}$ 

$$\int dx \ |\Psi(x)|^2 = 1 \text{ aber } \int dx \ \Psi^*(x)\Psi(x)x$$

- Produkt: AB definiert durch  $(AB)\Psi = A(B\Psi)$ 

i.A.: 
$$AB \neq BA$$

$$AB - BA$$

Bsp:  $[x, D_x]$ 

$$[x, D_x] \ \Psi(\vec{r}) = \left(x \frac{d}{dx} - \frac{d}{dx}x\right) \Psi = x \left(\frac{d}{dx}\Psi\right) - \frac{d}{dx}(x\Psi)$$
$$= -\Psi$$
$$\rightarrow [x, D_x] = -1 \text{ oder } [x, \underbrace{\frac{\hbar D_x}{i}}_{p}] = i\hbar$$
$$[x, p] = i\hbar$$

#### 2.1.2 Orthonormierte Basis

• Vektor wird charakterisiert durch seine Komponenten bezüglich orthonormaler Basis  $\{u_i\}$ 

$$u_i(\vec{r}) \in \mathfrak{F} \quad i = 1 \dots n \text{ (oder eventuell } \infty)$$
  
 $(u_i, u_j) = \delta_{ij} \Leftrightarrow \text{ orthonormiert}$   
 $\{u_i\} \text{ ist "Basis", wenn jedes } \Psi \in \mathfrak{F} \text{ geschrieben werden kann als}$   
 $\Psi(\vec{r}) = \sum_{i=1}^{\infty} (c_i u_i(\vec{r})).$ 

• Berechnung der  $c_i$ :

ausführliche Schreibweise Kurznotation 
$$\Psi(\vec{r}) = \sum_{i} c_{i} u_{i}(\vec{r}) \qquad \Psi = \sum_{i} c_{i} u_{i}$$
 
$$\int d\vec{r} \ u_{j}^{\star}(\vec{r}) \Psi(\vec{r}) = \sum_{i} c_{i} \int \underbrace{d\vec{r} \ u_{j}^{\star}(\vec{r}) u_{i}(\vec{r})}_{\delta_{ij}} \quad (u_{j}, \Psi) = \sum_{i} c_{i} \underbrace{(u_{j}, u_{i})}_{\delta_{ij}}$$
 
$$\int d\vec{r} \ u_{j}^{\star}(\vec{r}) \Psi(\vec{r}) = c_{j} \qquad (u_{j}, \Psi) = c_{j}$$

• Skalarprodukt in Komponentenschreibweise

ausführlich kurz 
$$\varphi = \sum_{i} G_{i} u_{i}(\vec{r}); \quad \Psi(\vec{r}) = \sum_{j} c_{j} u_{j}(\vec{r}) \quad \varphi = \sum_{i} G_{i} u_{i}; \quad \Psi = \sum_{j} c_{j} u_{j}$$

$$\int d\vec{r} \ \varphi^{\star}(\vec{r}) \Psi(\vec{r}) = \sum_{i} G_{i}^{\star} c_{i} \qquad (\varphi, \Psi) = \sum_{i} G_{i} v_{i}$$

speziell 
$$(\Psi, \Psi) = \sum_i |c_i|^2$$

Analogie zu Basisvektoren  $\vec{e}_1, \vec{e}_2, \vec{e}_3$  in  $\mathbf{R}^3$  ist offensichtlich.

 $\bullet$  Vollständigkeitsrelation: Jede Funktion  $\Psi(\vec{r}) \in \mathfrak{F}$  kann dargestellt werden in der Form

$$\Psi(\vec{r}) = \sum_{i} c_{i} u_{i}(\vec{r}) \qquad \Psi = \sum_{i} c_{i} u_{i}$$

$$= \sum_{i} \left( \int \underbrace{d\vec{r'} \ u_{i}^{\star}(\vec{r'}) \Psi(\vec{r'})}_{=c_{i}} \right) u_{i}(\vec{r}) \qquad = \sum_{i} \underbrace{(u_{i}\Psi)}_{=c_{i}} u_{i}$$

$$\int d\vec{r'} \Psi(\vec{r'}) \underbrace{\sum_{i} u_{i}(\vec{r}) u_{i}(\vec{r'})}_{\delta(\vec{r}-\vec{r'})} \qquad = \sum_{i} u_{i} u_{i} = 1$$

$$\Rightarrow \sum_{i} u_{i}^{\star}(\vec{r}) u_{i}(\vec{r'}) = \delta(\vec{r} - \vec{r'})$$

### 2.1.3 Ebene Wellen und andere verallgemeinerte Basiszustände

(nur eindimensional)

Ebene Welle:  $v_p(x) \equiv \frac{1}{\sqrt{2\pi\hbar}}e^{ipx/\hbar}$  nicht normierbar; p = IndexZerlegung eines Wellenpaketes nach ebenen Wellen = Entwicklung nach Basis  $\{v_p\}$ 

Fourier-Transformation:

$$\Psi(x) = \int \frac{dp}{\sqrt{2\pi\hbar}} \tilde{\Psi}(p) e^{ipx/\hbar}$$
$$= \int \underbrace{dp}_{\hat{=} \sum_{i}} \underbrace{\tilde{\Psi}(p)}_{\hat{=} c_{i}} \underbrace{v_{p}}_{\hat{=} u_{i}}$$

 $\Rightarrow$  Darstellung des Vektors

Umkehrung:

$$\underbrace{\tilde{\Psi}(p)}_{c_i} = \int \frac{dx}{\sqrt{2\pi\hbar}} \Psi(x) e^{-ipx/\hbar}$$

$$= \underbrace{\int dx \ v_p^* \Psi(x)}_{\hat{=}(u_i, \Psi)}$$

⇒ Berechnung der Koeffizienten

Parseval'sche Gleichung

$$\int dx \ \Psi^{\star}(x)\Psi(x) = \int dp \ \tilde{\Psi}^{\star}(p)\tilde{\Psi}(p)$$
$$(\Psi, \Psi) = \sum_{i} |c_{i}|^{2}$$

Vollständigkeit:  $\sum_{i} u_i(x) u_i^{\star}(x') = \delta(x' - x)$ 

Hier:

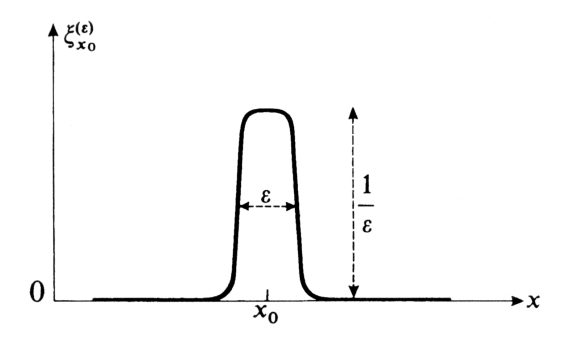
$$\int dp \left(\frac{e^{ipx/\hbar}}{\sqrt{2\pi\hbar}}\right) \left(\frac{e^{-ipx'/\hbar}}{\sqrt{2\pi\hbar}}\right) = \delta(x'-x)$$

Orthonormiertheit:

$$(v_p, v_p') \int \frac{dx}{2\pi\hbar} e^{\frac{-ipx}{\hbar} + \frac{ip'x}{\hbar}} = \delta(p - p')$$

in Analogie zu  $\delta_{ij}$ 

Entsprechendes gilt für den Ortsraum mit der verallgemeinerten Basis  $\{\xi_{x_0}(x)\}$  mit  $\xi_{x_0}(x) = \delta(x - x_0)$ 



Aufgabe: Entwickle  $\xi_{x_0}(x)$  bezüglich  $v_p$  und umgekehrt  $v_p$  bezüglich  $\xi_{x_0}(x)$ . Wie lauten Vollständigkeitsrelationen und Orthonormiertheit für  $\{\xi\}$ ?

Verallgemeinerung auf beliebige konstante Basis  $\{W_{\alpha}\}$ 

$$(W_{\alpha}, W_{\alpha'}) = \delta(\alpha - \alpha')$$
 orthonormiert  $\int d\alpha \ W_{\alpha}(x)W_{\alpha'}^{\star}(x') = \delta(x - x'))$  vollständig

gemischte Basis (Bindungs- und Streuzustände)

$$\{u_i, w_{\alpha}\}$$
;  $i$  diskret,  $\alpha$  kontinuierlich  
 $(u_i, u_j) = \delta_{ij}$   
 $(w_{\alpha}, w_{\alpha'}) = \delta_{\alpha-\alpha'}$   
 $(u_i, w_{\alpha}) = 0$ 

Vollständigkeit:

$$\sum_{i} u_i(x)u_i^+(x') + \int d\alpha \ w_{\alpha}(x)w_{\alpha}^{\star}(x') = \delta(x - x')$$

#### 2.2 Dirac-Notation

#### 2.2.1 Einführung

Zustand eines Teilchens kann charakterisiert werden durch  $\Psi(\vec{r})$  oder durch Komponenten bezüglich einer Basis.

| Basis                  | Index         | Komponenten          | $\mid \Psi(ec{r}) \mid$                                      | Bezeichnung                               |
|------------------------|---------------|----------------------|--|---|
| $u_i(\vec{r})$         | i             | $c_i$                | $\sum_{u} c_i u_i(\vec{r})$                                  | allgemein                                 |
| $v_{\vec{p}}(\vec{r})$ | $ec{p}$       | $	ilde{\Psi}(ec{r})$ | $\int d\vec{p} \ \tilde{\Psi}(\vec{p}) v_{\vec{p}}(\vec{r})$ | Impulsdarstellung                         |
| $\xi(\vec{r_0})$       | $ \vec{r_0} $ | $\Psi(ec{r_0})$      | $\int d\vec{r_0} \Psi(\vec{r_0}) \xi_{\vec{r_0}}(\vec{r})$   | Orstdarstellung                           |
| $w_{E_n}(\vec{r})$     | $\mid n \mid$ | $c_n$                | $\sum_n c_n w_{E_n}(\vec{r})$                                | Energiedarstellung für gebundene Zustände |

Analogie zum Vektor in  $\mathbb{R}_3$ :

$$\vec{a} = \begin{pmatrix} a_1 \\ a_2 \\ a_3 \end{pmatrix} = \sum_i a_i \vec{e}_i \quad \text{bezüglich Basis } \vec{e}_1 \vec{e}_2 \vec{e}_3$$

Basiswechsel: neue Basisvektoren:  $\vec{e_i} = \underbrace{O}_{\text{orthongonale Matrix}} \vec{e_i'}$ 

$$\vec{a} = \sum_{i} a'_{i} \vec{e'_{i}}$$
 wobei  $a'_{j} = \sum_{i} a_{i} (\vec{e'_{j}}, \vec{e_{i}}) = \sum_{i} a_{i} \underbrace{\vec{e'_{j}} O \vec{e'_{i}}}_{O_{ij}}$ 

 $\vec{a}$  hat Bedeutung unabhängig von Basis.

 $\vec{a} \cdot \vec{b}$  liefert das gleiche Resultat in jeder Basis.

#### 2.2.2 "ket" und "bra" liefert Bracket

Abstrakte Beschreibung eines Zustandes ohne Bezug auf Wellenfunktionen.

- a) "ket"  $\equiv$  Element der Zustandsumme symbolisiert durch  $\langle a|$  charakterisiert den Zustand ohne Bezug auf Basis.
- b) "bra": Zu jeder "ket"  $|\varphi\rangle$  gehört eine "bra"  $\langle\varphi|$  die zusammen mit einer beliebigen "ket"  $|\varphi\rangle$  eine komplexe Zahl definiert:

$$\langle \varphi | \Psi \rangle = \text{komlexe Zahl}$$

(entspricht dem Skalarprodukt wie in Abschnitt 2.1)

Es gelten fogende Rechenregeln:

$$\begin{split} \langle \varphi | \Psi \rangle^{\star} &= \langle \Psi | \varphi \rangle \\ \langle \varphi | \lambda_1 \Psi_1 + \lambda_2 \Psi_2 \rangle &= \lambda_1 \langle \varphi | \Psi_1 \rangle + \lambda_2 \langle \varphi | \Psi_2 \rangle \quad \text{linear} \\ \langle \lambda_1 \varphi_1 + \lambda_2 \varphi_2 | \Psi \rangle &= \lambda_1^{\star} \langle \varphi_1 | \Psi \rangle + \lambda_2^{\star} \langle \varphi_1 | \Psi \rangle \quad \text{antilinear} \end{split}$$

#### 2.2.3 Lineare Operatoren

 $A|\Psi\rangle$  ist wieder "ket",  $|A\Psi\rangle$  und  $\langle \varphi|(A|\Psi\rangle)$  einerseits Skalarprodukt von  $\langle \varphi|$  mit dem "ket"  $(A|\Psi\rangle)$ , andererseits kann es als Matrix interpretiert werden.

Beispiel für linearen Operator:

Gegeben sei  $|\Psi_1\rangle$  und  $\langle \varphi_1|$  (fest gewählt). Dann definiert  $|\Psi_1\rangle\langle \varphi_1|$  einen linearen Operator auf beliebige "ket"  $|\Psi\rangle$  durch

$$|\Psi_1\rangle\langle\varphi_1|\Psi\rangle$$

Analogie für Vektoren:

$$\begin{pmatrix} a_1 \\ \vdots \\ a_n \end{pmatrix}; \begin{pmatrix} b_1 \\ \vdots \\ b_n \end{pmatrix} : \quad a \cdot b = \sum_i a_i \cdot b_i \quad \text{Skalarprodukt}$$

$$ba^{\star} = \begin{pmatrix} b_1 \\ \vdots \\ b_n \end{pmatrix} \begin{pmatrix} a_1^{\star} & \dots & a_n^{\star} \end{pmatrix} = \begin{pmatrix} b_1 a_1^{\star} & b_2 a_2^{\star} & \dots & \dots \\ \vdots & \vdots & \ddots & \vdots \\ b_n a_1^{\star} & \dots & \dots & b_n a_n^{\star} \end{pmatrix}$$

Projektor:

 $\overline{\text{Es sei } \langle \Psi | \Psi \rangle} = 1$  $P_{\Psi} \equiv |\Psi \rangle \langle \Psi | \text{ Operator}$ 

$$P_{\Psi}|\varphi\rangle = \underbrace{|\Psi\rangle}_{\text{Richtung Gewicht}} \underbrace{\langle\Psi|\varphi\rangle}_{\text{Gewicht}}$$

Projektor auf 1 - P Unterraum.

Es gilt 
$$P_{\Psi}^2 = P_{\Psi}$$

Es seien  $|\Psi_1\rangle \dots |\Psi_q\rangle$  orthonormierte "ket", d.h.  $\langle \Psi_i | \Psi_j \rangle = \delta_{ij}$  für  $1 \leq ij \leq q$ . Dann ist  $P = \sum_{1 \leq ij \leq q} |\Psi_j\rangle \langle \Psi_i|$  Projektor auf den durch  $|\Psi_1\rangle \dots |\Psi_q\rangle$  aufgespannten Raum.

Zeige dass  $P^2 = P$  (Nachrechnen!)

## 2.2.4 Hermitisch konjugierter ( adjungierter) Operator

A auf "ket"  $|\Psi\rangle$  liefert  $(A|\Psi\rangle)$ ; ist wieder "ket".

Wirkung von A auf "bra"  $\langle \varphi |$  (liefert "bra"  $\langle \varphi | A$ ) ist festgelegt durch die Forderung:

$$(\langle \varphi | A) | \Psi \rangle = \langle \varphi | (A | \Psi \rangle) \ \forall \ \Psi$$

und wir schreiben in Analogie zur Matrixnotation:

$$(\langle \varphi | A) | \Psi \rangle = \langle \varphi | (A | \Psi \rangle) = \langle \varphi | A | \Psi \rangle$$

Der zu A adjungierte (hermitisch konjugierte) Operator  $A^+$  ist definiert durch

$$\langle \varphi | A^+ | \Psi \rangle \equiv \langle \Psi | A^+ | \varphi \rangle^*$$

in Analogie zu Matrizen:  $(M^+)_{ij}=M^*_{ii}$ 

Beachte: 
$$|A\Psi\rangle = A|\Psi\rangle$$
  $\langle A\Psi| = \langle \Psi|A^+ \text{ (wie } \langle \lambda\Psi| = \lambda^*\langle \Psi| \text{ )}$  Es gilt:  $A^{++} = A, \quad (\lambda A)^+ = \lambda^*A^+$   $(AB)^+ = B^+A^+$ 

#### 2.3 Darstellungen im Zustandsraum

Wahl einer Darstellung  $\hat{=}$  Wahl einer normierten Basis

Zustände werden dann "dargestellt" durch die Komponenten dieser Basis.

**Operatoren** : Matrizen

Zusammenstellung der wesentlichen Formeln (nur für diskreten Index):

 $\{|u_i\rangle\}$  orthonormierte Basis

Jeder ket  $|\Psi\rangle$  kann geschrieben werden als  $|\Psi\rangle = \sum_i c_i |u_i\rangle$ 

Es gilt  $\forall i : P_i = |u_i\rangle\langle u_i|$  ist Projektor.

$$\sum_i P_i = \mathbf{1}$$

Beispiel: 
$$\langle \varphi | \Psi \rangle = \langle \varphi | \mathbf{1} | \Psi \rangle = \langle \varphi | \sum_{i} P_{i} | \Psi \rangle$$
  
$$= \sum_{i} \langle \varphi | u_{i} \rangle \langle u_{i} | \Psi \rangle$$

**ket**  $|\Psi\rangle$  in der durch  $\{|u_i\rangle\}$  festgelegten Dastellung entspricht der einspaltigen Matrix:

$$\begin{pmatrix} \langle u_1 | \Psi \rangle \\ \langle u_2 | \Psi \rangle \\ \vdots \end{pmatrix} = \begin{pmatrix} c_1 \\ c_2 \\ \vdots \end{pmatrix}$$

**bra**  $\langle \Psi |$  in der durch  $\{ |u_i \rangle \}$  festgelegten Dastellung entspricht der einzeiligen Matrix:

$$\left(\begin{array}{ccc} \langle \Psi | u_1 \rangle & \langle \Psi | u_2 \rangle & \dots \end{array}\right) = \left(\begin{array}{ccc} c_1^{\star} & c_2^{\star} & \dots \end{array}\right)$$

Operator A  $A_{ij} = \langle u_i | A | u_j \rangle$ 

Produkt von A mit  $|\Psi\rangle$ :  $A|\Psi\rangle$  in der durch  $\{|u_i\rangle\}$  charakterisierten Basis.

$$|\Psi'\rangle = A|\Psi\rangle$$

$$c'_i = \sum_j A_{ij}c_j$$

Basis–Wechsel <br/> <br/> = "Wechsel der Darstellung"

Übergang von Basis  $\{|u_i\rangle\}$  zu Basis  $\{|t_k\rangle\}$ 

Regel wird festgelegt durch die Komponenten jedes der neuen Basisvektoren bezüglich der alten Basis.

$$|t_k\rangle = \sum_i \underbrace{\langle u_i|t_k\rangle}_{\text{Komponenten von }t_k \text{ bezüglich }u_i} |u_i\rangle$$
 $S_{ik} \equiv \langle u_i|t_k\rangle$  Transformationsmatrix
 $(S)_{ki}^+ = (S_{ik})^* = \langle t_k|u_i\rangle$ 

S ist unitär:  $SS^+ = S^+S = \mathbf{1}$ 

Beweis:  $(SS^+)_{ij} = \sum_{k} \langle u_i \underbrace{|t_k\rangle\langle t_k|}_{=1} u_j \rangle = \underbrace{\langle u_i|u_j\rangle}_{\delta_{ij}}$  Neue Komponenten

- von ket:  $\langle t_k | \Psi \rangle = \sum_i (S^+)_{ki} c_i$
- von bra:  $\langle \varphi | t_k \rangle = \sum_i b_i^* S_{ik}$

# 2.4 Eigenwert-Gleichungen / Observablen

#### 2.4.1 Eigenwerte / Eigenvektoren

$$A|\Psi\rangle = \underbrace{\lambda}_{\text{Eigenwert } Eigenvektor} \underline{|\Psi\rangle}$$

2 Fälle:

 $\lambda$  ist einfacher Eigenwert  $\Leftrightarrow$  der zu  $\lambda$  gehörige Eigenvektor ist eindeutig festgelegt.

 $\lambda$  ist g-facher Eigenwert  $\Leftrightarrow$  linear unabhängiger Eigenvektor zu  $\lambda: |\Psi^i\rangle; i=1\dots g$  Diese spannen Eigenwertgleichung in bestimmter Darstellung

$$A|\Psi\rangle = \lambda|\Psi\rangle$$

$$c_i \equiv \langle u_i|\Psi\rangle; \quad A_{ij} = \langle u_i|A|u_j\rangle$$

$$\langle u_i|A \underbrace{\qquad}_{\sum_j |u_j\rangle\langle u_j|} |\Psi\rangle = \lambda\langle u_i|\Psi\rangle$$

$$\sum_{j} A_{ij} c_j = \lambda c_i$$

$$\sum_{j} \underbrace{(A_{ij} - \lambda \delta_{ij})}_{\sum_{j} M_{ij} c_{j} = 0} c_{j} = 0$$

Homogenes Gleichungssystem; hat nur Lösungen  $\neq 0$  wenn Det  $(A_{ij} - \lambda \delta_{ij}) = 0$ 

#### "Säkulargleichung"

Für  $N \times N$ -Matrix  $\Rightarrow$  Gleichung N-ten Grades für  $\lambda \Rightarrow N$  Wurzeln, reell oder komplex, einfach oder vielfach.  $c_j$  ist für festes  $\lambda$  Lösung der komplexen Gleichung.

Für hermitische Operatoren gilt:

Falls die Säkulargleichung die Wurzel  $\lambda$  n-fach hat, so gibt es n linear unabhängige Eigenvektoren zu  $\lambda$ .

#### 2.4.2 Observable

Im folgenden sei A hermitisch

 $\Rightarrow$  Eigenwerte reell

Denn es gilt: 
$$A|\Psi\rangle = \lambda|\Psi\rangle$$
 für Eigenvektor  $|\Psi\rangle$ 

$$\langle\Psi|A|\Psi\rangle = \lambda\langle\Psi|\Psi\rangle$$

$$\lambda^*\langle\Psi|\Psi\rangle = \langle\Psi|A|\Psi\rangle^* = \langle\Psi|A^+|\Psi\rangle$$
da A hermitisch =  $\langle\Psi|A|\Psi\rangle = \lambda\langle\Psi|\Psi\rangle$ 

Ferner:  $A|\varphi\rangle$ 

$$\begin{array}{cccc} \langle \Psi | A | \varphi \rangle & \underbrace{=}_{\text{Definition von } A^+} & \langle \varphi | A^+ | \Psi \rangle^\star & \underbrace{=}_{\text{A hermitisch}} \langle \varphi | A | \Psi \rangle^\star = \lambda^\star \langle \varphi | \Psi \rangle^\star \\ & = & \lambda \langle \Psi | \varphi \rangle \Rightarrow \boxed{\langle \Psi | A = \lambda \langle \Psi |} \end{array}$$

Eigenvektoren zu verschiedenen Eigenwerten stehen orthogonal aufeinander.

$$\begin{array}{rcl} A|\Psi\rangle & = & \lambda|\Psi\rangle; & A|\varphi\rangle = \mu|\varphi\rangle; & \lambda \neq \mu \\ \langle\varphi|A|\Psi\rangle & = & \left\{ \begin{array}{ll} \lambda\langle\varphi|\Psi\rangle & \text{Wirkung nach rechts} \\ \lambda\langle\mu|\Psi\rangle & \text{Wirkung nach links} \\ \Rightarrow \lambda \neq \mu & \Rightarrow & \langle\varphi|\Psi\rangle = 0 \end{array} \right. \end{array}$$

Endlich dimensionaler Raum, hermitische Matrix:

 $\{Eigenvektor\} = Basis$ 

Hier: Forderung: Hermitischer Operator O dessen Eigenvektor eine Basis bilden  $\equiv$  Observable.

D.h. Jeder Zustand kann entwickelt werden nach Eigenvektor von O.

Bsp.: Hamilton Operator: Energie-Eigenzustände sind vollständig.

## Behauptung:

Falls  $[A,B]=0 \Rightarrow \exists$  Orthogonale Basis mit Basisvektoren die simultan Eigenvektoren zu A und B sin

Vollständiger Satz von Observablen  $A, B, C, \dots$ 

1. Alle Operatoren vertauschen untereinander

2. Das System der Eigenvektoren ist nicht mehr entartet, d.h. zwei Eigenvektoren zu A, B, C unterscheiden sich in wenigstens einem Eigenwert. Die Eigenvektoren sind eindeutig durch ihre Eigenwerte charakterisiert.

Beispiel: Eindimensionales Potential x oder p

Eindimensionale Box [Bild] 
$$x$$
 oder  $p$   $k_n$  oder Energie  $k_n = \frac{n\pi}{a}$ 

Anmerkungen:

- Wenn O mit allen Operatoren eines vollständigen Satzes von Operatoren vertauscht, so ist O eine Funktion dieser Operatoren. Beispiel: 1-dimensional [O, x] = 0, dann ist O eine Funktion von x.
- Zustände ket (oder bra) werden oft durch die Eigenwerte eines vollständigen Satzes charakterisiert.

 $|p\rangle$  ebene Welle mit Impuls p

 $|E_1\rangle$  Grundzustand des Hamilton Operators (1-dim. Problem)

 $|n,l,m\rangle$  Energie–Eigenzustand mit  $E_n \sim n^2$ , mit (Drehimpuls)<sup>2</sup> =  $l(l+1)\hbar^2$ , und  $l_z = m\hbar$  Impuls: {Eigenzustände  $|p_0\rangle$ } = Basis;  $\langle p_0|p_0'\rangle = \delta(p_0-p_0')$  Impulsdarstellung:  $\langle p_0|\Psi\rangle\tilde{\Psi}(p)$ 

Ort: {Eigenzustand:  $|x\rangle$ } = Basis  $\langle x|x'\rangle = \delta(x-x')$ Ortsdarstellung:  $\langle x|\Psi\rangle = \Psi(x)$ 

Energie: {Eigenzustand  $|E_n\rangle$  oder  $|n\rangle$ } = Basis Energiezustand  $\langle E_n|\Psi\rangle$ 

• Funktionen eines Operators: f(H)Entweder: Wähle Darstellung, in welcher A diagonal ist.

$$\langle i|A|j\rangle = a_i \delta_{ij} = \begin{pmatrix} a_1 & & \\ & a_2 & \\ & & \ddots & \\ & & a_n \end{pmatrix}$$

$$\langle i|f(A)|j\rangle = f(a_i)\delta_{ij} = \begin{pmatrix} f(a_1) & 0 & 0 & 0 \\ 0 & f(a_2) & 0 & 0 \\ \vdots & \vdots & \ddots & \vdots \\ 0 & 0 & 0 & f(a_n) \end{pmatrix}$$

Falls 
$$f(u) = \sum_{n} c_n u^n$$
, dann  $f(A) = \sum_{n} c_n A^n$ 

Wichtige Beispiele:

 $\overline{\mathcal{P}}$  sei Impulsoperator, a Konstante

$$e^{ia\mathcal{P}/\hbar}$$

Impulsdarstellung:

$$\langle p'_{0}|e^{ia\mathcal{P}/\hbar}|p_{0}\rangle = e^{ia\mathcal{P}/\hbar}\delta(p'_{0} - p_{0})$$

$$\langle p_{0}|e^{ia\mathcal{P}/\hbar}|\Psi\rangle = \int dp'_{0} \langle p_{0}|e^{ia\mathcal{P}/\hbar}|p'\rangle\langle p'|\Psi\rangle$$

$$= e^{ia\mathcal{P}/\hbar}\tilde{\Psi}(p_{0})$$

Ortsdarstellung:

$$e^{ia\mathcal{P}/\hbar} \triangleq e^{a\frac{a}{dx}} = \sum_{n} \frac{1}{n!} (a\frac{a}{dx})^{n}$$

$$\langle x|e^{ia\mathcal{P}/\hbar}| \underbrace{\qquad}_{\int dx' |x'\rangle\langle x'|} \Psi \rangle = \int dx' \langle x| \sum_{n} \frac{1}{n!} (a\frac{a}{dx})^{n} |x'\rangle\langle x'|\Psi \rangle$$

$$= \int dx' \sum_{n} \frac{1}{n!} (a\frac{a}{dx})^{n} \delta(x - x') \Psi(x')$$

$$= \sum_{n} \frac{1}{n!} (a\frac{a}{dx})^{n} \Psi(x) = \sum_{n} \frac{1}{n!} a^{n} \Psi^{(n)}(x)$$

$$= \Psi(x + a)$$

Hamilton–Operator in Orts– bzw. Impulsdarstellung

$$\overline{H = \frac{p^2}{2m} + V(x)}$$
;  $p = \text{Impulsoperator}$   $x = \text{Ortsoperator}$ 

Ortsdarstellung

$$\langle x_{0}|P^{2}|x'_{0}\rangle = (i\hbar \frac{d}{dx_{0}})^{2}\delta(x_{0} - x'_{0})$$

$$\langle x_{0}|V(x)|x'_{0}\rangle = V(x_{0})\delta(x_{0} - x'_{0})$$

$$\langle x|\mathcal{H}|\Psi\rangle = \int dx'_{0}\langle x_{0}|\mathcal{H}|x'_{0}\rangle\langle x'_{0}|\Psi\rangle$$

$$= \int dx'_{0} \left[\frac{1}{2m}(i\hbar \frac{d}{dx_{0}})^{2} + V(x_{0})\right]\delta(x_{0} - x'_{0})\Psi(x'_{0})$$

$$= \left(-\frac{\hbar^{2}}{2m}(\frac{d}{dx_{0}})^{2} + V(x_{0})\right)\Psi(x_{0})$$

• Impulsdarstellung

$$\langle p_0|P^2|p_0'\rangle = p_0^2 \delta(p_0 - p_0')$$

$$\langle p_0|V(x)|p_0'\rangle = \int dx_1 dx_2 \langle p_0|x_1\rangle \quad \langle x_1|V(x)|x_2\rangle \quad \langle x_2|p_0'\rangle$$

$$= \int dx_1 dx_2 V_{p_0}(x_1)^* \quad \delta(x_1 - x_2) \quad V_{p_0'}(x_2)$$

$$= \frac{dx_1}{2\hbar\pi} e^{i(p_0' - p_0)x_1/\hbar} V(x_1)$$

$$= \tilde{V}(p_0' - p_0)/\sqrt{2\pi\hbar}$$

$$\langle p_0|\mathcal{H} \underbrace{\hspace{1cm} |\Psi\rangle}_{|p_0'\rangle\langle p_0'|} = \frac{p_0^2}{2m} \tilde{\Psi}(p_0) + \int \frac{dp'}{\sqrt{2\pi\hbar}} \tilde{V}(p_0' - p_0) \tilde{\Psi}(p_0')$$

$$\langle p_0|\mathcal{H}|\Psi\rangle = E\langle p_0|\Psi\rangle \quad \text{Integralgleichung}$$

# 3 Postulate der Quantenmechanik

# 3.1 Allgemeine Prinzipien

Zwei Jahre Intensive Diskussion 1925/26 (Kopenhagener Interpretation)

#### Klassisches mechanisches System:

Zur Zeit  $t_0$ : Zustand festgelegt durch die verallgemeinerten Koordinaten  $q_i(t_0), p_i(t_0)$ , Bewegung im Phasenraum.

(Bild - beliebiger Zeitpunkt:  $q_i(t), p_i(t)$  aus den hamilton'schen Gleichungen)

#### Quantenmechanik

- Zur Zeit  $t_0$ : Zustand festgelegt durch  $|\Psi(t_0)\rangle$ . Jede Messung wird beschrieben durch die Wirkung eines Operators der auf  $\Psi(t_0)$  wirkt.  $\rightarrow$  "Observable"
- Messung → Eigenwert von A
   z.B. Energieeigenwerte, Spin bei Stern Gerlach
- Wahrscheinlichkeit, den Eigenwert  $a_n$  zu finden (ohne Entartung)

$$P(a_n) = |\langle u_n | \Psi \rangle|^2$$

 $a_n$ g–fach entartet  $P(a_n) = \sum_{i,\dots,g} \left| \langle u_n^i | \Psi \rangle \right|^2$ 

Falls A kontinuierliches Spektrum:

Dichte 
$$dP(\alpha) = |\langle \nu_{\alpha} | \Psi \rangle|^2 d\alpha$$

Beispiel: Dichte im Ortsraum:

$$dP(x) = |\langle x|\Psi\rangle|^2 dx = |\Psi(x)|^2 dx$$
  
$$dP(p) = |\langle p|\Psi\rangle|^2 dp = |\tilde{\Psi}(p)|^2 dp$$

"Reduktion des Wellenpaketes"

Nach der Messung ist das System (Wahrscheinlichkeit 1) im Unterraum, der durch  $a_n$  charakterisiert wird:

$$|\Psi\rangle = \stackrel{a_n}{\rightarrow} \frac{P_n |\Psi\rangle}{\sqrt{\langle\Psi|P_n|\Psi\rangle}}$$

 $P_n$  ist der Projektor auf den durch a charakterisierten Unterraum (falls keine Entartung  $P_n = |u_n\rangle\langle u_n|$ ).

Beispiel: Ortsmessung

Teilchen zwischen  $\infty$  hohen Wänden im Grundzustand:

(3 Zeichnungen)

Teilchen nicht mehr im Energiegrundzustand. Überlagerung von allen Energie-Eigenzuständen.

**Anmerkung:** Sukzessive Messungen von Observablen aus vollständigem Satz führt auf einen Zustand, der Eigenzustand zu all diesen Operatoren ist. Der Zustand ist dann eindeutig festgelegt.

Zeitentwicklung: 
$$i\hbar \frac{d}{dt} |\Psi(t)\rangle = \mathcal{H}(t) |\Psi(t)\rangle$$

In der Quantenmechanik werden Observable häufig aus klassischen Größen dediziert:

In Ortsdarstellung: 
$$x \rightarrow X$$
 
$$p \rightarrow P = i\hbar \frac{d}{dx}$$

alle anderen Observablen, die klassische Funktionen von x und p sind, werden durch diese Substitution gewonnen.  $\Rightarrow$  "Korrespondenzprinzip"

Erwartungswerte (diskretes, nicht entartetes Spektrum)

Einzelne Messung liefert einen der Eigenwerte  $a_n$  mit der Wahrscheinlichkeit  $P_n = |\langle u_n | \Psi \rangle|^2$ 

viele Messungen: 
$$\sum_n a_n P_n = \sum_n \langle \Psi \underbrace{|u_n\rangle a_n\langle u_n|}_A \Psi \rangle$$
$$= \langle \Psi | A | \Psi \rangle$$

#### Schwankungen um den Mittelwert

$$|\Psi\rangle(\Delta A)^2 \equiv |\Psi\rangle \left(A - \langle\Psi|A|\Psi\rangle\right)^2 |\Psi\rangle$$

Heisenberg'sche Unschärfe-Beziehung

Ausgangspunkt:  $[Q,P] = i\hbar$ 

Ausgangspunkt. [4], ... ] Trick: Betrachte  $|\varphi\rangle=(Q+i\lambda p)$   $\underbrace{|\Psi\rangle}_{\text{beliebig}}$ 

$$0 \le \langle \varphi | \varphi \rangle = \langle \Psi | \underbrace{(Q + i\lambda P)(Q - i\lambda P)}_{Q^2 + \lambda^2 P^2 + i\lambda(QP - PQ)} | \Psi \rangle$$
$$[Q,P] = i\hbar$$

$$0 \leq \langle \Psi | Q^2 | \Psi \rangle + \lambda^2 \langle \Psi | P^2 | \Psi \rangle - \lambda \hbar \underbrace{\langle \Psi | \Psi \rangle}_{=1} \quad \forall \ \lambda$$

Wähle  $\lambda=\frac{\hbar}{2}\left\langle P^{2}\right\rangle _{\Psi};\quad\left\langle P^{2}\right\rangle _{\Psi}=\left\langle \Psi|P^{2}|\Psi\right\rangle$ 

$$\boxed{\left\langle Q^2 \right\rangle_{\Psi} \left\langle P^2 \right\rangle_{\Psi} \ge \frac{\hbar^2}{u}}$$

Gleichheitszeichen gilt nur für Gauß-Paket.

# 3.2 Schrödinger Gleichung / allgemeine Resultate

$$i\hbar \frac{d}{dt} |\Psi(t)\rangle = \mathcal{H}(t) |\Psi(t)\rangle$$

Für gegebenes  $|\Psi(t_0)\rangle$  liegt  $|\Psi(t)\rangle$  für alle t bekannt.

#### 3.2.1 Erhaltung der Wahrscheinlichkeit

$$\underbrace{\langle \Psi(t) | \Psi(t) \rangle}_{\text{zeitlich konstant}}$$

Beweis: 
$$\frac{d}{dt} \langle \Psi(t) | \Psi(t) \rangle = \underbrace{\left[ \frac{d}{dt} \langle \Psi(t) | \right]}_{\frac{d}{dt} \Psi = -\frac{1}{i\hbar} \langle \Psi | \mathcal{H}(t)} | \Psi(t) \rangle + \langle \Psi(t) | \underbrace{\frac{d}{dt} \Psi(t)}_{\frac{1}{i\hbar} \mathcal{H}(t) | \Psi \rangle}_{\frac{1}{i\hbar} \mathcal{H}(t) | \Psi \rangle}$$

$$\Rightarrow = 0$$

Im Ortsraum:

$$\int d\vec{r} \ |\Psi(\vec{r},t)|^2 \ {\rm zeitlich \ konstant} = 1$$

#### 3.2.2 Wahrscheinlichkeitsdichten und Ströme

$$\rho(\vec{r},t) = |\Psi(\vec{r},t)|^{2}$$

$$\vec{\jmath}(\vec{r},t) = \frac{\hbar}{2mi} \left( \Psi^{\star} \tilde{\nabla} \Psi - \Psi \nabla \Psi^{\star} \right)$$

Plausibilität:

$$\vec{v} = \frac{\vec{p}}{m} = \frac{\hbar}{i} \frac{\vec{v}}{m}$$

Klassische Stromdichte = Dichte  $\cdot$  Geschwindigkeit

Für ebene Wellen:

$$\begin{split} \Psi(\vec{r},t) &= Ae^{i(\vec{p}\vec{r}-Et)/\hbar} \\ \Rightarrow \rho &= |A|^2 \\ \vec{j} &= |A|^2 \left(\frac{i\vec{p}}{\hbar} - \left(-\frac{i\vec{p}}{\hbar}\right)\right) \frac{\hbar}{2mi} = |A|^2 \underbrace{\vec{p}}_{v_{\text{Gruppe}}} \end{split}$$

Lokale Erhaltung

Elektrodynamik:

$$\frac{\partial}{\partial t} \underbrace{\rho(\vec{r},t)}_{\text{Ladungsdichte}} + \nabla \underbrace{\vec{\jmath}(\vec{r},t)}_{\text{Stromdichte}} = 0$$

Hier:

$$\begin{split} \frac{\partial}{\partial t} \left( \Psi^{\star} \Psi \right) & + \quad \vec{\nabla} \frac{\hbar}{2mi} \left( \Psi^{\star} \vec{\nabla} \Psi - \Psi \vec{\nabla} \Psi^{\star} \right) \\ & = \quad \left( \frac{\partial}{\partial t} \Psi^{\star} \right) \Psi + \Psi^{\star} \left( \frac{\partial}{\partial t} \Psi \right) + \frac{\hbar}{2mi} \left( \vec{\nabla} \Psi^{\star} \vec{\nabla} \Psi + \Psi^{\star} \vec{\nabla}^{2} \Psi - \vec{\nabla} \Psi \vec{\nabla} \Psi^{\star} - \Psi \vec{\nabla}^{2} \Psi^{\star} \right) \\ & = \quad \left( \frac{\partial}{\partial t} \Psi^{\star} - \frac{\hbar}{2m} \vec{\nabla}^{2} \Psi^{\star} \right) \Psi + \left( \frac{\partial}{\partial t} \Psi + \frac{\hbar}{2mi} \vec{\nabla}^{2} \Psi \right) \Psi^{\star} \underbrace{\qquad \qquad }_{\text{Schr. Gl. einsetzen}} 0 \end{split}$$

Schrödinger-Gleichung:

$$\begin{split} i\hbar\frac{\partial}{\partial t}\Psi &= \left(-\frac{\hbar^2}{2m}\vec{\nabla}^2 + V\right)\Psi \qquad |\cdot\Psi^\star| \\ -i\hbar\frac{\partial}{\partial t}\Psi^\star &= \left(-\frac{\hbar^2}{2m}\vec{\nabla}^2 + V\right)\Psi^\star \qquad |\cdot\Psi| \\ -i\hbar\left[\left(\frac{\partial}{\partial t}\Psi\right)\Psi^\star + \left(\frac{\partial}{\partial t}\Psi^\star\right)\Psi\right] &= \Psi^\star\left(-\frac{\hbar^2}{2m}\vec{\nabla}\Psi\right) + \Psi\left(\frac{\hbar^2}{2m}\vec{\nabla}\Psi^\star\right) \end{split}$$

#### 3.2.3 Zeitliche Entwicklung von Erwartungswerten

$$\begin{array}{rcl} \langle A \rangle & = & \langle \Psi(t) | A | \Psi(t) \rangle \\ & \frac{d}{dt} \left\langle A(t) \right\rangle & = & \frac{d}{dt} \langle \Psi(t) | A | \Psi(t) \rangle + \langle \Psi(t) | A | \frac{d}{dt} \Psi(t) \rangle + \langle \Psi(t) | \frac{\partial}{\partial t} A | \Psi(t) \rangle \\ & = & \frac{1}{i\hbar} \langle \Psi(t) | [A,H] | \Psi(t) \rangle + \langle \Psi(t) | \frac{\partial}{\partial t} A | \Psi(t) \rangle \\ \Rightarrow & \frac{d}{dt} \left\langle A(t) \right\rangle & = & \frac{1}{i\hbar} \left\langle [A,H] \right\rangle + \langle \frac{\partial}{\partial t} A \rangle \end{array}$$

Insbesondere:

Falls 
$$[A,H] = 0$$
 und falls  $\frac{\partial}{\partial t}A = 0$   $\Rightarrow \frac{d}{dt}\langle A \rangle = 0$ 

Wähle speziell:

A = R Ortsoperator

A = P Impulsoperator

$$\begin{split} H &= \frac{p^2}{2m} + V(x) \quad [R,H] &= \quad \left[R,\frac{p^2}{2m}\right] = i\hbar\frac{p}{m} \\ &[P,H] &= \quad [P,V(R)] = \frac{\hbar}{i}\vec{\nabla}V(R) \\ &\frac{\partial}{\partial t}R = 0 \quad ; \quad \frac{\partial}{\partial t}P = 0 \\ &\Rightarrow \frac{d}{dt}\left\langle R\right\rangle(t) \quad = \quad \frac{\langle P\rangle\,t}{m} \\ &\frac{d}{dt}\left\langle P\right\rangle(t) \quad = \quad -\langle\vec{\nabla}V(R)(t)\rangle \end{split}$$

⇒ Ehrenfest–Theorem analog zur Hamilton–Gleichung in der Mechanik

Beachte:  $\langle \vec{\nabla} V(R) \rangle \neq \vec{\nabla} V(\langle R \rangle)$ 

Klassischer Grenzfall:

$$\langle \vec{\nabla} V(R) \rangle \to \vec{\nabla} V(\langle R \rangle)$$

$$\Rightarrow m \frac{d^2}{dt^2} \langle R \rangle = -\vec{\nabla} V(\langle R \rangle)$$

#### 3.2.4 Zeitliche Entwicklung von Zuständen

Konservative Systeme  $\frac{\partial}{\partial t}H = 0$ Eigenzustände / -werte zum Zeitpunkt  $t = t_0$ 

$$H|\Psi_n(t_0)\rangle = E_n|\Psi_n(t_0)\rangle$$

Definiere Basis  $\{|\Psi_n(t_0)\rangle\}$ 

Zeitliche Entwicklung von beliebigem Zustand

$$|\Psi(t)\rangle = \sum_{n} c_n(t) |\Psi(t_0)\rangle$$

DGL für  $c_n(t)$ 

$$i\hbar \sum_{n} \left( \frac{d}{dt} c_n(t) \right) |\Psi(t_0)\rangle = \sum_{n} c_n(t) E_n |\Psi_n(t_0)\rangle$$

$$\Rightarrow i\hbar \frac{d}{dt} c_n(t) = E_n c_n(t)$$

$$\Rightarrow c_n(t) = c_n(t) e^{-iE_n(t-t_0)/\hbar}$$

$$|\Psi(t)\rangle = \sum_{n} c_n(t) e^{-iE_n(t-t_0)/\hbar} |\Psi(t_0)\rangle$$

Wichtige Konsequenz: Falls nur ein  $c_n \neq 0, c_n = e^{i\varphi}$  O.B.d.A.

$$\begin{array}{lcl} \left\langle A\right\rangle(t) & = & \left\langle \Psi(t)|A|\Psi(t)\right\rangle \\ & = & \left\langle \Psi(t_0)|e^{iE_n(t-t_0)/\hbar}Ae^{-iE_n(t-t_0)/\hbar}|\Psi(t_0)\right\rangle \\ & = & \left\langle A\right\rangle(t_0) \end{array}$$

Erwartungswerte ändern sich nicht "stationäre Zustände"  $\Leftrightarrow$  scharfe Energie

# 4 Der Harmonische Oszillator (HO)

## 4.1 Einführung – H.O. in der klassischen Mechanik

Teilchen der Masse m im Potential  $V(x) = \frac{1}{2}kx^2$ 

(Bild Potential)

Bewegungsgleichung:  $m\ddot{x} = -\frac{dV}{dx} = -kx$ 

Lösung:  $x(t) = x_M \cos(\omega t - \varphi)$  $\omega = \sqrt{\frac{k}{m}}; \quad x_M, \varphi \text{ aus Anfangsbedingung}$ 

Energie:

$$E = T + V = \frac{p^2}{2m} + \frac{1}{2}m\omega^2 x^2 = \frac{1}{2}m\omega^2 x_M^2$$

Bemerkung: Die potentielle Energie U(x) vieler physikalischer Systeme hat bei  $x=x_0$  ein Minimum.

Entwickeln von  $x = x_0$ 

$$U(x) = \underbrace{U(x_0)}_{\text{konst.}} + \underbrace{U'(x_0)}_{= 0}(x - x_0) + \frac{1}{2} \underbrace{U''(x_0)}_{\text{konst.}}(x - x_0)^2$$

(Bild U(x))

Beschreibbar:

- Oszillationen von Atomen im Kristall, Molekül
- "Quantisierung" von Feldern

#### 4.2 Harmonischer Oszillator in der Quantenmechanik

$$\mathcal{H} = \frac{p^2}{2m} + \frac{1}{2}m\omega^2 x^2$$

Klassische Größen  $\rightarrow$  Operatoren

Eigenwert-Gleichung  $\mathcal{H}\Psi = E\Psi$  im Ortsraum:

$$\left[ -\frac{\hbar^2}{2m} \frac{d^2}{dx^2} + \frac{1}{2} m\omega^2 x^2 \right] \Psi = E \Psi$$

## 4.2.1 Analytische Lösung der DGL

Setze 
$$\hat{x} = x\sqrt{\frac{m\omega}{\hbar}}, \quad \varepsilon = \frac{E}{\hbar\omega}$$

$$\left(\frac{d^2}{d\hat{x}^2} - \hat{x}^2 + 2\varepsilon\right)\Psi(\hat{x}) = 0\tag{6}$$

Verhalten für  $\Psi(\hat{x})$  für große  $\hat{x}$   $(\hat{x} \gg \varepsilon)$ 

Ansatz:  $G_{+}(\hat{x}) = e^{\pm \frac{\hat{x}^2}{2}}$ 

 $G_{\pm}(\hat{x})$  löst DGL:

$$\left(\frac{d^2}{d\hat{x}^2} - \hat{x}^2 \pm 1\right) G_{\pm}(\hat{x}) = 0$$

Für große  $\hat{x} \approx \hat{x} \pm 1 \approx \hat{x} + 2\varepsilon$ 

Normierbarkeit nur abfallende Lösung.

$$\Rightarrow$$
 Ansatz für Gl. (6): 
$$\Psi(\hat{x}) = h(\hat{x})e^{-\frac{\hat{x}^2}{2}}$$

Einsetzen in Gl. (6):

$$\left(\frac{d^2}{d\hat{x}^2} - 2\hat{x}^2 \frac{d}{d\hat{x}} + (2\varepsilon - 1)\right) h(\hat{x}) = 0$$

Lösung mit Potenzreihenansatz

$$h(\hat{x}) = \sum_{n=0}^{\infty} a_m \hat{x}^{m+p}$$

$$\begin{array}{ll} a_0 \neq 0 & (a_i = 0 \text{ für } i < 0) \\ (m+p+2)(m+p+1)a_{m+2} = (2m+2p-3\varepsilon+1)a_m \end{array}$$

 $\frac{a_{m+2}}{a_m} \stackrel{m \quad \infty}{\longrightarrow} \frac{1}{m} \Rightarrow$  Normierbare Lösung nur, falls Potenzreihe abbricht.

1.

$$m = -2 \Rightarrow p(p-1) = 0$$
  
 $\Rightarrow p = 0; p = 1$ 

2.

$$(2m + 2p - 2\varepsilon + 1) \stackrel{!}{=} 0$$

$$\Rightarrow \varepsilon_n = m + p + \frac{1}{2} = n + \frac{1}{2}$$

$$\Rightarrow E_n = \hbar\omega \left(n + \frac{1}{2}\right)$$

einsetzen in DGL:

$$\left(\frac{d^2}{d\hat{x}^2} - 2\hat{x}^2 \frac{d}{d\hat{x}} + 2n\right) h(\hat{x}) = 0 \quad n = 0, 1, 2, \dots$$

Hermite DGL

Lösung: Hermite Polynome  $H_n(\hat{x})$ 

$$H_n(\hat{x}) = (-1)^n e^{\hat{x}^2} \frac{d^n}{d\hat{x}^n} e^{-\hat{x}^2}$$

$$N_n = \sqrt{\pi} n! \sqrt{\frac{\hbar}{m\omega}} \dots$$

$$H_0(y) = 1$$

$$H_1(y) = 2y$$

$$H_2(y) = 4y^2 - 2$$

Stationäre Zustände des H.O.

$$\varphi_n(\hat{x}) = N_n e^{-\frac{\hat{x}^2}{2}} H_n(\hat{x})$$

$$E_n = \hbar \omega \left( n + \frac{1}{2} \right) \qquad n = 0, 1, 2, \dots$$

- $\Delta E = E_n E_{n-1} = \hbar \omega = \text{konstant}$
- $E_0 = \frac{1}{2}\hbar\omega$  heißt Nullpunktsenergie

Eigenschaften von  $\varphi_n(\hat{x})$ 

- $\varphi_n(-\hat{x}) = (-1)^n \varphi_n(\hat{x})$
- $\varphi_n(\hat{x})$  hat *n* reelle Nullstellen
- Extrema liegen innerhalb der "klassischen Grenzen"

#### 4.2.2 H.O. Algebraische Lösung

Def. dimensionslose Größen

$$\hat{x} = \sqrt{\frac{m\omega}{\hbar}}x \qquad \hat{p} = \frac{1}{\sqrt{m\hbar\omega}}p$$

$$\hat{H} = \frac{H}{\hbar\omega} = \frac{1}{2}(\hat{x}^2 + \hat{p}^2) \qquad \varepsilon = \frac{E}{\hbar\omega}$$

$$[\hat{x}, \hat{p}] = i$$

Eigenwertgleichung:

$$\hat{H}|\varphi_{\nu}\rangle = E_{\nu}|\varphi_{\nu}\rangle$$

$$a = \frac{1}{\sqrt{2}}(\hat{x} + i\hat{p}) \qquad a^{\dagger} = \frac{1}{\sqrt{2}}(\hat{x} - i\hat{p})$$

$$\hat{x} = \frac{1}{\sqrt{2}}(a + a^{\dagger}) \qquad \hat{p} = \frac{i}{\sqrt{2}}\left[a^{\dagger} - a\right]$$

Eigenschaften von  $a, a^{\dagger}$ 

1.

$$\begin{bmatrix} a, a^{\dagger} \end{bmatrix} = \frac{1}{2} [\hat{x} + i\hat{p}, \hat{x} - i\hat{p}] 
= \frac{1}{2} (i [\hat{x} - \hat{p}] + i [\hat{p}, \hat{x}]) 
= 1$$

2.

$$\underbrace{N}_{\text{Besetzungszahloperator}} = aa^{\dagger} = \frac{1}{2} \left( \hat{x}^2 + \hat{p}^2 - 1 \right)$$

3.

$$H = a^{\dagger}a + \frac{1}{2} = N + \frac{1}{2}$$

- $\Rightarrow$  Eigenzustände von  $\hat{H}$  sind auch Eigenzustände von  $\hat{N}$  und umgekehrt.
- $\Rightarrow$  Lösen von  $H|\varphi_{\nu}\rangle=E_{\nu}|\varphi_{\nu}\rangle$  ist äquivalent zur Lösung von  $N|\varphi_{\nu}\rangle=\nu|\varphi_{\nu}\rangle$

#### Eigenschaften von N

1.

$$\begin{array}{rcl} [N,a] & = & \left[a^{\dagger}a,a\right] & [AB,C] = A\left[B,C\right] + \left[A,C\right]B \\ \\ & = & \left[a^{\dagger},a\right]a = -a \\ \\ \left[N,a^{\dagger}\right] & = & a^{\dagger} \end{array}$$

2. Eigenwerte  $\nu$  von  $N \quad \nu \geq 0$ 

$$0 \leq ||(a|\varphi_{\nu}\rangle)||$$

$$= \langle a\varphi_{\nu}|a\varphi_{\nu}\rangle = \langle \varphi_{\nu}|a^{\dagger}a|\varphi_{\nu}\rangle = \langle \varphi_{\nu}|N|\varphi_{\nu}\rangle = \nu\underbrace{\langle \varphi_{\nu}|\varphi_{\nu}\rangle}_{>0}$$

$$\Rightarrow \nu \geq 0$$

- niedrigster Eigenwert  $\geq 0$
- Falls  $\nu > 0 \Rightarrow a |\varphi_{\nu}\rangle = 0$
- 3. Sei  $|\varphi_{\nu}\rangle$  Eigenzustand von N zum Eigenwert  $\nu 1$ ,  $a|\varphi_{\nu}\rangle \sim |\varphi_{\nu-1}\rangle \Rightarrow a^{\dagger}|\varphi_{\nu}\rangle$  ist Eigenzustand zum Eigenwert  $\nu + 1$ ,  $a^{\dagger} |\varphi_{\nu}\rangle \sim |\varphi_{\nu+1}\rangle$

$$Na^{\dagger}|\varphi_{\nu}\rangle = (a^{\dagger} + a^{\dagger}N)|\varphi_{\nu}\rangle = (\nu + 1)a^{\dagger}|\varphi_{\nu}\rangle$$

Analog für  $a|\varphi_{\nu}\rangle$ 

Richtige Normierung  $|\varphi_{\nu}\rangle$  sei 1. Normiert  $\langle \varphi_{\nu}|\varphi_{\nu}\rangle = 1$ 

$$\langle a^{\dagger} \varphi_{\nu} | a^{\dagger} \varphi_{\nu} \rangle = \langle \varphi_{\nu} | a a^{\dagger} | \varphi_{\nu} \rangle = \langle \varphi_{\nu} | a^{\dagger} a + 1 | \varphi_{\nu} \rangle - (\nu + 1) \langle \varphi_{\nu} | \varphi_{\nu} \rangle$$

$$\Rightarrow a^{\dagger} | \varphi_{\nu} \rangle = \sqrt{\nu + 1} | \varphi_{\nu + 1} \rangle$$

$$a | \varphi_{\nu} \rangle = \sqrt{n} | \varphi_{\nu - 1} \rangle$$

Falls eine Eigenfunktion bekannt ist erhält man alle anderen sukzessive.

Anwendung von a und  $a^{\dagger}$ :

Falls  $|\varphi_0\rangle$  bekannt

$$|\varphi_n\rangle = \frac{1}{\sqrt{n}}a^{\dagger}|\varphi_{n-1}\rangle = \frac{1}{\sqrt{n!}}(a^{\dagger})^n|\varphi_0\rangle$$

4. Eigenwerte  $\nu$  von N sind  $\in N_0$ 

Annahme: Es gibt  $\bar{\nu}$  mit  $n < \bar{\nu} < n+1$   $n \in N_0$ 

$$N(a^{n}|\varphi_{\bar{\nu}}\rangle) \qquad ([N,a] = -a; [N,a^{n}] = -a_{n}^{n})$$

$$= \underbrace{(\bar{\nu} - n)}_{\geq 0} a^{n}|\varphi_{\bar{\nu}}\rangle$$

$$N(a^{n+1}|\varphi_{\bar{\nu}}\rangle) \qquad = \underbrace{(\bar{\nu} - n - 1)}_{<0} a^{n+1}$$

D.h. wir haben

$$N|\varphi_n\rangle = n|\varphi_n\rangle$$
  
 $\Rightarrow H|\varphi_n\rangle = \hbar\omega\left(n + \frac{1}{2}\right)|\varphi_n\rangle \qquad n = 0, 1, 2, ...$ 

Interpretation von  $a, a^{\dagger}$ :  $a^{\dagger}$  heißt Erzeugungsoperator a heißt Vernichtungsoperator

(Bild: Parabel n = 0, 1, 2, 3)

5. Eigenzustände des Hamiltonoperators: Besetzungsdarstellung

$$a = \frac{1}{\sqrt{2}} \left( \hat{x} + i\hat{p} \right) \qquad a |\varphi_0\rangle = 0$$

Im Orstraum:

$$\varphi_0(x) = \langle x|a|\varphi_0\rangle = \frac{1}{\sqrt{2}} \left(\hat{x} + \frac{d}{d\hat{x}}\right) \underbrace{\langle x|\varphi_0\rangle}_{\varphi_0(\hat{x})}$$

Lösung:  $\varphi_0(\hat{x}) = N_0 e^{-\hat{x}/2}$ 

Angeregte Zustände:

$$\langle x|\varphi_n\rangle = \frac{1}{\sqrt{n!}}\langle x|(a^{\dagger})^n|\varphi_0\rangle$$
$$= \frac{1}{\sqrt{n!}}\frac{1}{\sqrt{2^n}}(\hat{x} - \frac{d}{dt})\varphi_0(x)$$

Explizite Form von  $H, N, a, a^{\dagger}, \hat{x}, \hat{p}$ Besetzungszahldarstellung  $|\varphi_n\rangle = |n\rangle$ 

$$\langle m|N|n\rangle = n\delta_{m,n}$$

$$\Rightarrow (N) = \begin{pmatrix} 0 & 0 \\ 1 & 2 \\ 0 & \ddots \end{pmatrix}$$

$$H = \hbar\omega \left(N + \frac{1}{2}\right)$$

$$\Rightarrow H = \hbar\omega \begin{pmatrix} 1/2 & 0 \\ 3/2 & 0 \\ 0 & 5/2 \end{pmatrix}$$

$$a^{\dagger}|n\rangle = \sqrt{n+1}|n+1\rangle$$
  
 $\langle m|a^{\dagger}|m\rangle = \sqrt{n+1}\delta_{m,n+1}$ 

$$a^{\dagger} = \begin{pmatrix} 0 & & & 0 \\ \sqrt{1} & 0 & & & \\ & \sqrt{2} & 0 & & \\ & & \sqrt{3} & \ddots & \\ 0 & & \ddots & 0 \end{pmatrix}$$
 $a = \begin{pmatrix} 0 & \sqrt{1} & & 0 \\ 0 & \sqrt{2} & & & \\ & 0 & \sqrt{3} & & \\ & & \ddots & \ddots & \\ 0 & & & 0 \end{pmatrix}$ 

Hinweis:

Berechnen Sie  $a^{\dagger}a$  und vergleichen Sie die Spur und Determinante auf der linken und

rechten Seite.

$$\hat{x} = \frac{1}{\sqrt{2}} \left( a + a^{\dagger} \right) \qquad (\hat{x}) = \frac{1}{\sqrt{2}} \begin{pmatrix} 0 & \sqrt{1} & 0 & 0 \\ \sqrt{1} & 0 & \sqrt{2} & & \\ & \sqrt{2} & 0 & \sqrt{3} & & \\ & & \sqrt{3} & \ddots & \ddots \\ 0 & & & \ddots & 0 \end{pmatrix}$$

$$\hat{p} = \frac{i}{\sqrt{2}} \left( a^{\dagger} - a \right) \qquad (\hat{p}) = \frac{i}{\sqrt{2}} \begin{pmatrix} 0 & -\sqrt{1} & & 0 \\ \sqrt{1} & 0 & -\sqrt{2} & & \\ & & \sqrt{2} & 0 & -\sqrt{3} \\ & & & \sqrt{3} & \ddots & \ddots \\ 0 & & & \ddots & 0 \end{pmatrix}$$

#### 4.3 Diskussion der Resultate

## 4.3.1 Erwartungswerte

Für stationäre Zustände (Energieeingenzustände) gilt  $\langle x \rangle = 0$ ;  $\langle p \rangle = 0$  für alle Zeiten.  $\langle n|x^2|n \rangle$  wächst mit n und entspricht genau dem Wert, welchen man als zeitlichen Mittelwert von  $x^2$  bei klassischer Bewegung erhalten würde. (Ohne Beweis) Analog für  $p^2$ 

#### 4.3.2 Qualitativer Beitrag zum Grundzustand

Klassisch:  $x = 0, p = 0, E = 0 \quad \forall t$ 

Quantenmechanik: Wellenfunktion ist ausgedehnt über Bereich  $\sim \xi \sim$ ,  $\langle V \rangle \approx \frac{1}{2} m \omega^2 \xi^2$  Erwartungswert  $\langle p^2 \rangle \sim \frac{\hbar^2}{\xi^2}$  (Unschärferelation)

$$\Rightarrow$$
 Kinetische Energie:  $\langle T \rangle = \frac{\langle p^2 \rangle}{2m} = \frac{\hbar^2}{2m\xi^2}$ 

$$\langle H \rangle = \frac{\hbar^2}{2m\xi^2} + \frac{1}{2}m\omega^2\xi^2$$

 $\langle H \rangle$  wird minimal für  $\xi^2 = \frac{\hbar}{m\omega}$  und man erhält  $\langle V \rangle = \langle T \rangle$  und  $\langle H \rangle \approx \hbar \omega$  als korrekte Größenordnung

#### 4.4 Dreidimensionaler Harmonischer Oszillator in kartesischen Koordinaten

$$\underbrace{\left[\frac{\vec{p}^2}{2m} + \frac{1}{2}m\omega^2\vec{R}^2\right]}_{H = H_x + H_y + H_z} \varphi(\vec{R}) = E\varphi(\vec{R})$$

$$\min_{H = \frac{\hbar^2}{2m}} \frac{d^2}{dx^2} + \frac{1}{2}m\omega^2x^2$$

Es gilt weiterhin

$$[H_x, H_y] = 0;$$
  $[H_x, H_z] = 0;$   $[H_y, H_z] = 0$ 

können gleichzeitig diagonalisiert werden; Problem entspricht drei ungekoppelten harmonischen Oszillatoren.

Ansatz: 
$$\varphi(\vec{R}) = \varphi_x(x) + \varphi_y(y) + \varphi_z(z)$$

$$H\varphi = (H_x + H_y + H_z) \varphi = H_x \varphi_x \varphi_y \varphi_z + H_y \varphi_x \varphi_y \varphi_z + H_z \varphi_x \varphi_y \varphi_z$$

$$\Rightarrow \underbrace{H_x \varphi_x}_{=E_x} + \underbrace{H_y \varphi_y}_{=E_y} + \underbrace{H_z \varphi_z}_{=E_z} = E$$

Drei entkoppelte Gleichungen und  $E_x + E_y + E_z = E$ 

$$H_x \varphi_x = E_x \varphi_x$$

$$H_y \varphi_y = E_y \varphi_y$$

$$H_z \varphi_z = E_z \varphi_z$$

$$\varphi_x^{n_x}(x)$$
sei Lösung der  $1-D$  Gleichung mit Energie  $\hbar\omega\left(n_x+\frac{1}{2}\right)$   $\varphi_y^{n_y}(x)\to\hbar\omega\left(n_y+\frac{1}{2}\right)$   $\varphi_z^{n_z}(x)\to\hbar\omega\left(n_z+\frac{1}{2}\right)$ 

$$E = \hbar\omega(n_x + n_y + n_z + \frac{3}{2})$$

Energie–Eigenwerte sind entartet angeregt von  $n = n_x + n_y + n_z$ , reicht nicht um den Zustand festzulegen. Die Angabe von  $n_x, n_y, n_z$  legt Zustand eindeutig fest.

Gegeben sei n. Wieviele  $n_x, n_y, n_z$  Kombinationen passen?

$$\Rightarrow \frac{(n+1)(n+2)}{2}$$